

Research Article

## Investigating the diverse depositional environments in the Aghajari Formation in a part of the Bibi Hakimeh oil field

Mohammad Reza Zakerzadeh<sup>1\*</sup>

1- Operation geology division NISOC

**Keywords:** *Aghajari Formation, Bibi Hakimeh Oil Field, Depositional Environment, Facies, Transitional Environments.*

### 1- Introduction

The Aghajari Formation, Miocene-Pliocene age, is the thickest in the Zagros sedimentary basin. The thickness of this formation has been measured at about 2966 meters in the type section, but its maximum thickness, which has been drilled so far, is about 4658 meters in Papileh#1 oil well, 35 km northeast of the Dezful city. The Aghajari Formation consists of sequences of thick-bedded red marls, siltstones, and sandstones. In many areas of the Zagros Basin, the depositional environments considered for the Aghajari Formation are fluvial, but on the shorelines of the Persian Gulf and Qeshm Island, it exhibits marine characteristics (Motiei, 1993). The main object of the present article is to investigate the depositional environment of the Aghajari Formation to introduce the fossil faunal and floral associations that dominated it and also to investigate and search for the presence of depositional environments other than the fluvial environment in this formation in a part of the Bibi Hakimeh oil field. Another purpose is to show that the Aghajari Formation can be very suitable for studying biostratigraphy, sedimentology, ichnology, paleobotany, palynology, paleoclimatology, and other geological aspects.

### 2- Material and methods

In the first step, the surface survey was carried out in the study area to select an appropriate section of the Aghajari Formation. After that, field works were carried out to evaluate the area's geological characteristics of the area, including surface survey, photographing, taking flown attributes and measurements, and collecting required hand samples. Nineteen samples were collected from the identified limestone and peat layers and veins. Twenty thin sections were prepared from them for laboratory studies. About 100 photomicrographs were taken from the microscopic characteristics of the identified facies. Data from 14 oil wells were used to identify the lithological features and other subsurface descriptions of the Aghajari Formation. Finally, the data was analyzed and interpreted based on the most recent and relevant domestic and foreign studies.

### 3- Results and discussions

The Aghajari Formation gradationally overlies the Mishan Formation and is mainly conformably overlain by the Bakhtiari Formation, with or without the Lahbary Member (James & Wynd 1965; Motiei 1993). The study area is located in the southeastern part of the Bibi Hakimeh huge anticline or giant oil field at 50°45', 50°50' E and 29°55' to 30°05' N. This oil field is located in the southern Dezful Embayment and is 84km long and 7km wide. Depositional environments describe the combination of physical, chemical, and biological processes associated with depositing a particular sediment type. Sedimentary facies is a body of rock, typically a sequence of several strata or beds, that is distinct from adjacent strata based on observable

\* Corresponding author: mrz223.geo@gmail.com

DOI: 10.22055/aag.2024.46524.2448

Received: 2024-04-04

Accepted: 2024-12-05

characteristics such as sedimentary structures and textures, fossil contents, lithology differences, etc., therefore, to interpret and analyze depositional environments, sedimentary facies and their changes should be investigated (Moussavi-Harami, 2013).

The following lithological and biological facies were identified to determine diverse depositional environments in the Aghajari Formation :

### 3-1-Evaporites lithofacies:

The study area has numerous layers and veins of gypsum and anhydrite. According to Motiei (1993), these layers are the possible result of evaporation and drying of seasonal lakes. Such lakes are created in the continent or inland and are enclosed basins or shallow depressions not connected to the sea waters. Lacustrine deposits can include evaporite and seasonal fine-grained detrital sediments. Lacustrine evaporites are usually dominated by gypsum and anhydrite with nodular and laminated textures rather than as bedded bottom nucleated layers on the subaqueous floors of perennial brine lakes or massive marine evaporites and, deposited in widespread evaporitic mudflats and salt pans (Rosell, 2007; Warren, 2016). The evaporite layers and veins are completely nodular in the study area and show nodular texture. There are also thin laminae or veins of laminated gypsum. According to the above studies, these lithofacies formed in shallow lacustrine environments where subaqueous sedimentation of primary gypsum laminae occurred.

### 3-2- Plant remains biofacies:

A thin layer of peat containing many carbonized floral remains was found in the study area. These Plant remains include pieces and fragments of various plants, most likely belonging to mangroves or mangrove-like plants. Various depositional environments for these plant remnants, such as flood plains, tidal flats, salt marshes, and estuaries, can be considered. The most important habitats in which mangroves and mangrove-like plants live are estuaries and salt marshes (Day et al., 2012). Estuaries are partly sheltered areas found near river mouths, where land freshwater mixes with seawater. Estuaries are transitional, dynamic, and sensitive environments. Estuaries could be considered transition zones between freshwater and marine water habitats and transitions from land to sea. Many of their physical and biological attributes are transitional and unique. This ecosystem comprises brackish water, which differs from freshwater and marine water. A salt marsh is a marshy area found near estuaries. The water quality in salt marshes varies from completely saturated with salt to fresh water (Day et al., 2012). The study area's river channels, ripple marks, and weak cross-bedding confirm the fluvial environment. It is assumed that along the entire shorelines of circum-Tethyan basins, including Iran, from the Cretaceous to recent, special mangrove genera such as *Avicennia* sp., *Rhizophora* sp., and *Nypa* sp. have been dominated (Srivastava and Prasad, 2019).

### 3-3- Oyster reef biofacies:

Another important facies in the studied area is the oyster reef biofacies, observed in massive colonies and large accumulations of oysters. The common oysters in this biofacies belong to *Magallana gryphoides* (Schlotheim, 1820) species, a distinct species with the age range of Miocene-Pliocene (Harzhauser et al., 2015). Other oysters present in this reef belong to the *Ostrea* genus. From the Miocene to the Quaternary, many species belonging to the genus *Magallana* left the shallow marine environments due to the increase in predator organisms and chose the soft and sandy substrate of the estuarine environments in all shorelines of the Circum-Tethys (Cuitino et al., 2013).

### 3-4- Carbonate biofacies:

#### 3-4-1- Charophyte algae carbonate facies:

Charophyte algae are green algae and have many similarities with some land plants. These algae are reliable tools in biostratigraphical studies. Charophytes are usually found in very shallow environments up to 50 meters, such as marginal coasts with low energy conditions, coastal marginal brackish lakes up to 12 meters, and shallow freshwater lakes (Hughes, 2014). In the study area, Biofacies that only contain Charophyte algae indicate environments with relatively fresh to brackish waters, that is, the transitional environments. The biofacies that contain benthic foraminifers and Charophyte algae denote more water energy and the

transformation of the transitional environments to shallow marine and marginal marine conditions. The presence of some Charophyte algae in a low amount associated with the thick carapace ostracods indicates the deepening of the water depth and increase in water salinity and energy (Perez-Cano, 2022).

### 3-4-2- Foraminifera carbonate biofacies:

Benthic foraminifera live in shallow, low-energy marine environments and lagoons. Usually, these organisms are very useful for interpreting the water depth, salinity, light penetration rate, water energy, and other environmental factors of different depositional environments (BouDagher-Fadel, 2017). Another carbonate biofacies identified in the Aghajari Formation in the study area is the benthic foraminifera-dominated biofacies. The foraminifera in this biofacies are *Elphidium haueriunum* (d'Orbigny, 1846), small rotalids, and rare Nonion sp.

This biofacies is equal to the Wynd (1965) Assemblage Zone number 66 as:

*Elphidium-Rotalia-Ostracoda* Assemblage zone (Wynd, 1965)

The Miocene-Pliocene is considered for this biozone. The depositional environment considered for this biofacies is the shallow and low-energy parts of the lagoon towards the coast. *Elphidium* species with keel live epibenthic on muddy and sandy substrates near sea grasses and meadows up to 50 meters. Species with no keel live in shallower environments such as coastal lagoons (Hughes, 2014).

### 3-4-3- Ostracoda carbonate biofacies:

Ostracoda carbonate biofacies are found in thin-bedded limestone layers. Ostracods are one of the most important tools in paleontology for interpreting depositional environments. There are two categories of ostracods: the fresh and brackish water ostracods or non-cypridean and marine ostracods or cypridean (Danielopol et al. 2007). Ostracods mentioned for the Aghajari Formation by Wynd (1965) are all marine type or cypridean, including:

*Trachyleberis* sp., *Cytheridea* sp., *Bairdia* sp.,

Non-cypridians have smooth, thin, weak, and bean-shaped carapaces or valves without ornamentations, while cypridean ostracods have rough, thick, firm, elongated, and porous carapaces. In high-energy marine environments, many ornamentations are also seen on their valves. The ostracods in this biofacies have coarse and thick carapaces and irregular valve surfaces, therefore attributed to marine ostracods.

## 4- Conclusion

In the studied area, the Aghajari Formation includes various lithofacies and biofacies. The most important of these facies are Evaporites lithofacies, Plant remains biofacies, Oyster reef biofacies, Charophyte algae carbonate facies, Foraminifera carbonate biofacies, and Ostracoda carbonate biofacies. According to these identified facies, different depositional environments can be proposed for the Aghajari Formation in the region as follows: gypsum and anhydrite with nodular and laminated textures indicate the lacustrine environment. River channels, ripple marks around the channels, and weak cross-bedding confirm the fluvial environment. The abundant Plant remains in the peat vein, oyster reef, massive colonies, and copious Charophyte algae, which indicate possible transitional environments such as salt marshes and estuaries. Finally, abundant benthic foraminifera and ostracods with thick carapace and some algae and bryozoans denote a shallow marine environment. Therefore, like the northern coasts of the Persian Gulf, shallow marine conditions are also expected in the study area. In the study area, the Aghajari Formation is also rich in fossil plant remains, oysters, Charophyte algae, bivalves, gastropods, benthic foraminifera, and ostracods.

## References

- BouDagher-Fadel, M.K., 2018. Evolution and geological significance of larger benthic foraminifera. Developments in Palaeontology and Stratigraphy, 1st edition. Elsevier, Amsterdam, p. 544, <https://doi.org/10.2307/j.ctvqhsq3>
- Cuitino, J.I., Santos, R.V., Scasso, R.A., 2013. Insights into the Distribution of Shallow-Marine to Estuarine Early Miocene Oysters from Southwestern Patagonia: Sedimentologic and Stable Isotope Constraints. PALAIOS 28, 583–598. <https://doi.org/10.2110/palo.2012.p12-105r>

- Danielopol, D.L., Gross, M., Piller, W.E., 2007. Taxonomic diversity of middle Miocene ostracoda assemblages- A useful tool for palaeoenvironmental characterization of the Hainburg Area (Vienna Basin). *Joannea Geologie und Paläontologie*, Austria, 9, 25-30.
- Day, J.W., Crump, B.C., Kemp, W.M., Yanez-Arancibia, A., 2012. *ESTUARINE ECOLOGY*, 2nd edition, John Wiley and Sons Publication, Singapore, p. 257
- Harzhauser, M., Djuricic, A., Mandic, O., Neubauer T.A., Zuschin, M., Pfeifer, N., 2015. Age structure, carbonate production and shell loss rate in an Early Miocene reef of giant oyster *Crassostrea gryphoides*. *Biogeosciences Discuss* 12, 15867–15900. <https://doi.org/10.5194/bgd-12-15867-2015>
- Hughes, G.W., 2014. Micropalaeontology and palaeoenvironments of the Miocene Wadi Waqb carbonate of the northern Saudi Arabian Red Sea. *GeoArabia* 19, 59-108. <https://doi.org/10.2113/geoarabia190459>
- James, G.A., Wynd, J.G., 1965. Stratigraphic nomenclature of Iranian oil consortium agreement area. *American Association Petroleum Geological Bulletin* 49, 2182–2245.
- Motiei, H., 1993. Geology of Iran, Stratigraphy of Zagros, 1st edition, Iranian Geological Survey Publications Tehran, p. 536
- Moussavi-Harami, R., 2013. Sedimentology, 5th edition, Astan Quds publication, Tehran, Iran, p. 474
- Perez-Cano, J., Bover-Arnal, T., Martin-Closas, C., 2022. Charophyte communities in Barremian Iberian wetlands. *Facies* 68, 13-51. <https://doi.org/10.1007/s10347-022-00651-6>
- Rosell, L., 2007. Depositional models of lacustrine evaporites in the SE margin of the Ebro Basin (Paleogene, NE Spain). *Geologica Acta* 5, 19-34. <https://www.reseafchgate.net/publication/28156654>
- Srivastava, J., Prasad, V., 2019. Evolution and Paleobiogeography of Mangroves. *Marine Ecology* 14, 1-19. <https://doi.org/10.1111/maec.12571>
- Warren, J. K., 2016. Evaporites, 2nd edition, Springer Cham, Switzerland, p. 1813. [https://doi.org/10.1007/978-3-319-39193-9\\_100-1](https://doi.org/10.1007/978-3-319-39193-9_100-1)
- Wynd, J.G., 1965. Biofacies of the Iranian Oil Consortium Agreement Area. Iranian Oil Operation Companies. Geological and Exploration Division, Tehran, Report No. 1082.

HOW TO CITE THIS ARTICLE:

Zakerzadeh, M., 2025. Investigating the diverse depositional environments in the Aghajari Formation in a part of the Bibi Hakimeh oil field. *Adv. Appl. Geol.* 15 (1). 27-50.

DOI: 10.22055/aag.2024.46524.2448, 27-50.

[https://aag.scu.ac.ir/article\\_19844.html](https://aag.scu.ac.ir/article_19844.html)

©2025 The author(s). This is an open access article distributed under the terms of the Creative Commons Attribution (CC BY 4.0), which permits unrestricted use, distribution, and reproduction in any medium, as long as the original authors and source are cited. No permission is required from the authors or the publishers

مقاله پژوهشی

## بررسی محیط‌های رسوی متنوع در سازند آغازاری در بخشی از میدان نفتی بی‌بی حکیمه

محمد رضا ذاکر زاده

اداره عملیات زمین شناسی، شرکت ملی مناطق نفت خیز جنوب

mrz223.geo@gmail.com

تاریخ دریافت: ۱۴۰۳/۰۹/۱۵ تاریخ پذیرش: ۱۴۰۳/۰۱/۱۶

### چکیده

سازند آواری آغازاری با سن میوسن-پلیوسن، ضخیم‌ترین سازند نهشته شده در حوضه رسوی زاگرس است که مشتمل بر رخساره‌های سنگی مارنی، سیلتستونی و ماسه‌سنگی است. عمدت ترین محیط رسوی در نظر گرفته شده برای این سازند در اغلب نقاط حوضه رسوی زاگرس بویژه در نواحی شمالی و مرکزی فروافتادگی دزفول، محیط‌های رودخانه‌ای است. در بخش‌هایی از نواحی جنوبی فروافتادگی دزفول و در مجاورت سواحل خلیج فارس محیط رسوی دریابی نیز برای این سازند ذکر شده است ولی مطالعات چندانی در این باره صورت نپذیرفته است. در محدوده مورد مطالعه که در بخش‌هایی از جنوب شرق میدان نفتی بی‌بی حکیمه واقع شده سازند آغازاری افزون بر ماسه‌سنگ و مارن، حاوی لایه‌های نازک آهکی و انیدریتی نیز هست. با توجه به رخساره‌های زیستی و سنگی متنوع شناسایی شده از جمله رخساره کربناته استراکوددار، رخساره کربناته روزنبران کفزی و رخساره کربناته جلبک‌های کاروفیت، رخساره لایه‌های اویستردار، رخساره زیستی گیاهی یا رگه پیت، وجود کانال‌های رودخانه‌ای، چینه بندهای متقطع و ریپل مارک و همچنین رخساره تبخیری شامل ژیپس و انیدریت‌های قلوه‌ای و لامینه‌ای، افزون بر محیط رودخانه‌ای می‌توان محیط‌های رسوی دیگری را از قبیل محیط دریابی کم‌عمق، محیط‌های محتمل حدواسطی مانند باللاق‌های نمکی و محیط‌های خلیج دهانه‌ای و همچنین محیط دریاچه‌ای را برای این سازند در محدوده مورد مطالعه در نظر گرفت. سازند آغازاری در این ناحیه حاوی بایوتای متنوع و غنی سنگواره‌ای از جنس‌ها و گونه‌های مختلف استراکوده‌ها، روزنبران کفزی، جلبک‌های کاروفیت، اویسترها، گیاهان، دوکفه‌ای‌ها و شکم‌پایان است.

**واژه‌های کلیدی:** سازند آغازاری، میدان نفتی بی‌بی حکیمه، محیط رسوی، رخساره، محیط‌های حدواسط

سازند و همچنین مهم نبودن این سازند در نقاط حساس جداره‌گذاری (Casing point) و آستری‌گذاری (Liner point) در عملیات حفاری چاه‌های نفت باشد. در عملیات حفاری چاه‌های نفت نیز این سازند به دلیل ضخامت بسیار زیاد، ریزش دیواره چاه (Hole wash out) با توجه به نرم بودن سنگ‌شناسی غالب این سازند، تنگی‌های مکرر دیواره چاه (Wash and Rim) (Tight hole)، شستشو و تراش دیواره چاه (Wash and Rim) (Tight hole) به دفعات زیاد، سوراخ شدن و بریدن مکرر رشته لوله‌های حفاری (Pipes wash out and twist off) به سبب وجود ماسه‌سنگ‌های فراوان و مارن‌های چسبنده، گیر رشته لوله‌های حفاری (Pipe stuck) و بد بودن کیفیت نمونه‌های خردنهای حفاری (Poor Drilling Cuttings)، جزو سازندهای دردسر ساز محسوب می‌شود. علیرغم تمامی این مشکلات، سازند آغازاری برای مطالعاتی نظری رسوی‌شناسی، ایکنولوژی، بررسی

### ۱- مقدمه

سازند آواری آغازاری ضخیم‌ترین سازند حوضه رسوی زاگرس است که در پهنه وسیعی از این حوضه و فراتر از خاک ایران با تغییر رخساره در بخش‌هایی از کشورهای عراق، کویت، ترکیه و عربستان هم گسترش یافته است (Motiei, 1993). در مطالعات زمین‌شناسی زاگرس و به خصوص مطالعات زمین‌شناسی نفت، سازند آغازاری در مقایسه با سازندهای دیگری همچون سازند آسماری، کمتر مورد توجه قرار گرفته و مطالعات اندکی بر روی این سازند انجام شده است که دلایل آن هم می‌تواند ضخامت بسیار زیاد، نداشتن جنبه اقتصادی در صنعت نفت، غیر مخزنی بودن این سازند، نبودن بایوتای مناسب و قابل قبول برای مطالعات زیست چینه‌نگاری در بسیاری از نقاط، عدم برداشت نمودارهای پتروفیزیکی درون چاهی از این

Salinity Crisis مشهور شده است (Bardshaw, 2021). اما در اپوک پلیوسن شرایط اقلیمی متفاوت و متغیری دیده می‌شود. ویژگی‌های آب و هوایی در این دوره زمانی از شرایط بسیار گرم با بروز دوره‌های گرمایش شدید بویژه در میانه‌های پلیوسن تا شرایط بسیار سرد یخچالی که به عصرهای یخبندان معروفند، متغیر بوده است. این تغییرات تقریباً در دوره‌های منظم حدوداً ۴۰ هزار ساله تکرار می‌شده است. در اپوک پلیوسن شرایط اقلیمی نسبت به اپوک میوسن خنک‌تر و خشک‌تر بوده، اما در مقایسه با شرایط اقلیمی عهد حاضر حدود ۲ الی ۳ درجه گرم‌تر و سطح متوسط آب دریاها حدود ۲۵ متر بالاتر بوده است (Steinthorsdottir et al., 2020). هدف این مقاله بررسی محیط‌های رسوی سازند آغازاری و معرفی جامعه سنگواره‌ای جانوری و گیاهی توسعه یافته در این محیط‌ها و همچنین بررسی وجود محیط‌های رسوی غیر از محیط رسوی رودخانه‌ای از این سازند در بخشی از میدان نفتی بی‌بی‌حکیمه است. از سوی دیگر تاکید بر این مطلب که سازند آغازاری نیز همچون بسیاری دیگر از سازندهای گسترش یافته در حوضه رسوی زاگرس می‌تواند سازند مناسبی برای مطالعات گستردۀ زمین‌شناسی باشد. هر چند که نویسنده معتقد است که مطالعه پیش رو یک بررسی اولیه و به نوعی فاز اول و ابتدایی مطالعه‌ای گستردۀ در همین رابطه است، چه بسا که دسترسی به نتایج دقیق‌تر و کامل‌تر، نیاز به مطالعات دقیق چینه‌شناسی، دیرینه‌شناسی، رسوب‌شناسی، پالینولوژی، ایکنولوژی، گیاه‌شناسی‌دیرینه و بررسی دقیق‌تر رخساره‌های زیستی و سنگی سازند مورد مطالعه دارد.

## ۲- روش مطالعه

در گام نخست، پیمایش‌های سطحی و بررسی محدوده به منظور انتخاب برش مناسب بخشی از سازند آغازاری برای مطالعه انجام گردید. از آنجایی که ضخامت سازند آغازاری در محدوده مورد مطالعه به طور متوسط در حدود ۵۰۰ متر می‌باشد و از طرفی بیشتر قسمت‌های رخنمون یافته این سازند فاقد بایوتای مناسب و همچنین رخساره‌های مدنظر این پژوهش بودند، لذا یک برش چینه‌شناسی به ضخامت ۹۴ متر از قسمت‌های میانی سازند آغازاری در میدان بی‌بی‌حکیمه در مجاورت چاه شماره ۱۰۰ انتخاب گردید که این برش شامل توالی کاملی از

ساخته‌های رسوی و جنبه‌های دیگر زمین‌شناسی بسیار مناسب است. همزمان با کوهزایی آلپین، چرخه رسوی فارس که مشتمل بر یک چرخه زمین‌ساختی-چینه‌شناسی است در یک دریای پسرонده به سمت جنوب غرب تشکیل می‌گردد. در میوسن پایانی و پلیوسن، حرکات کوهزایی و پسروری دریا متأثر از چین خوردگی‌ها و راندگی‌ها سبب بوجود آمدن محیط‌های رسوی کم عمق، قاره‌ای و حدوداست (Transitional Environments) نظیر خلیج‌های دهانه‌ای گردیدند که رسوبات آواری و تخریبی عمده‌اً قرمز رنگ در آنها نهشته شد و منجر به تشکیل سازند آغازاری گردید (Amiri Bakhtiar and Nouraei Nezhad, 2021). سازند آغازاری یکی از سازندهای گروه فارس است که در ناحیه فروافتادگی دزفول احتمالاً به دلیل فرونشت تدریجی در هنگام رسوب‌گذاری، به ضخیم‌ترین Motiei (1993)، در حوضه رسوی زاگرس، سازند آغازاری با دو رخساره سنگی متفاوت قابل تشخیص و ردیابی است. اول رخساره سنگی ماسه‌سنگی که غالباً در نواحی فارس ساحلی و داخلی گسترش دارد و دیگری رخساره سنگی مارنی که در اکثر نواحی فروافتادگی دزفول و سواحل خلیج فارس توسعه یافته است. طبق نظر این محقق، سازند آغازاری در کرانه‌های ساحلی خلیج فارس و جزیره قشم ویژگی‌ها و خصوصیات دریایی را از خود نشان می‌دهد و همچنین توالی رسوبی این سازند در حوالی میدان بی‌بی‌حکیمه دارای ژیپس است. بنا بر گفته این محقق سازند آغازاری در نواحی خوزستان و لرستان غالباً از نوع رسوبات رودخانه‌ای (fluvial) است و در بخش‌های کوچکی از جنوب فروافتادگی دزفول شرایط دریایی را از خود نشان می‌دهد. سن سازند آغازاری میوسن-پلیوسن تعیین شده است (James and Wynd, 1965). اپوک میوسن به عنوان یک دوره زمانی افزایش جهانی دمای هوا شناخته می‌شود و از لحظه شرایط آب و هوایی در مقیاس جهانی، به جز در دوره‌های کوتاه مدت یخچالی، گرم‌ترین شرایط اقلیمی را در ۲۵ میلیون سال گذشته داشته است. در انتهای میوسن شرایط آب و هوایی، اندکی رو به خنک شدن گذاشت اما مهم‌ترین واقعه اقلیمی در انتهای میوسن و در اشکوب Messinian بوقوع پیوست که رویداد تبخیر دریای مدیترانه بود که به

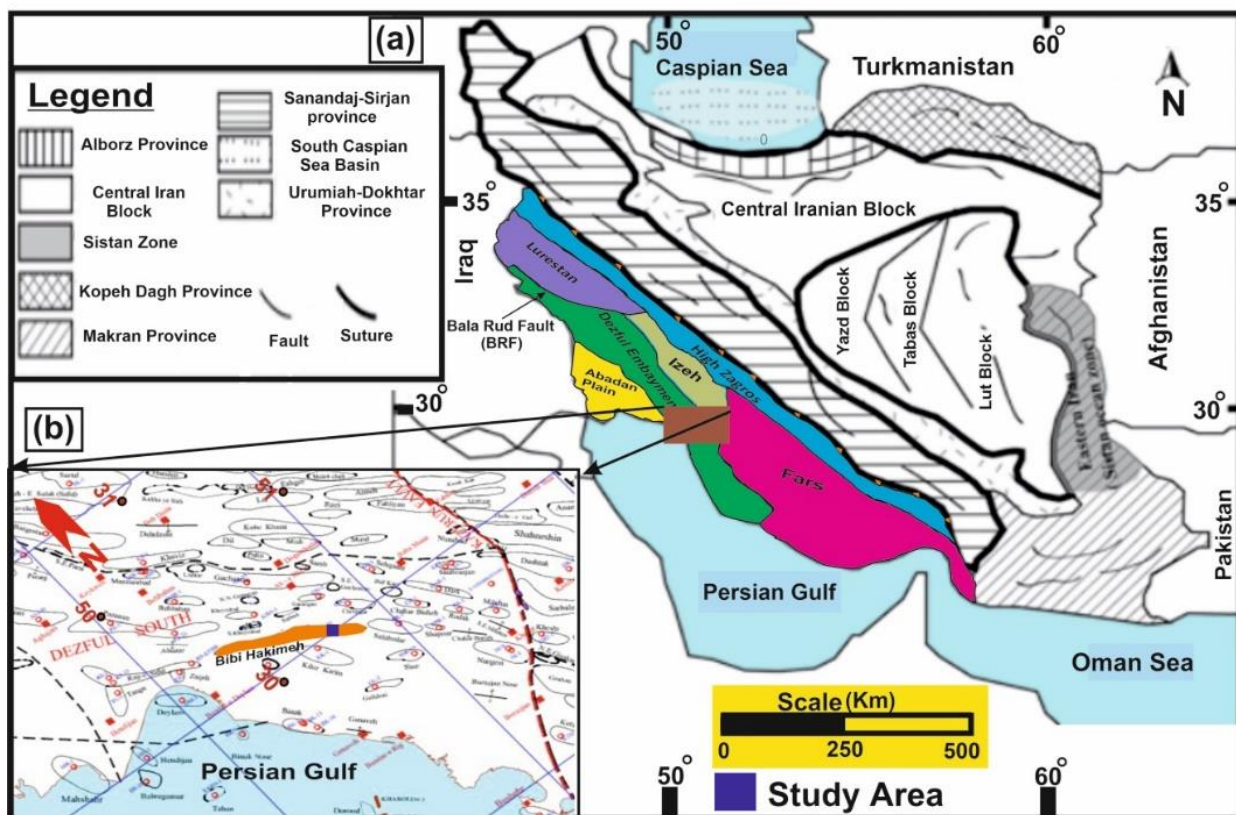
سازند آغازگاری در میدان بی‌بی‌حکیمه با بسیاری دیگر از میادین جنوب غرب ایران و به ویژه ناحیه لرستان، گسترش فراوان مارن‌های خاکستری و زیتونی ضخیم لایه در توالی این سازند نسبت به سایر نواحی است. در شکل ۳ ستون سنگ‌شناسی سازند آغازگاری در برش برداشت شده نمایش داده شده است. ضخامت سازند آغازگاری در چاه‌های حفاری شده در میدان نفتی بی‌بی‌حکیمه با توجه به موقعیت چاه بر روی تاقدیس و میزان عملکرد فرآیندهای فرسایشی، متغیر است و از کمتر از ۵۰ متر تا بیش از ۱۱۰۰ متر گزارش شده است. ضخامت حفاری شده این سازند در چاه‌های حفاری شده در محدوده مورد مطالعه در جدول ۱ نمایش داده شده است. سازند آغازگاری در میدان نفتی بی‌بی‌حکیمه در مقایسه با برخی دیگر از نواحی فروافتادگی دزفول، چندان هم ضخیم به نظر نمی‌رسد. در برش نمونه این سازند که توسط James و Wynd (۱۹۶۵) در اطراف شهر آغازگاری در استان خوزستان تعیین شده، ضخامت این سازند را ۲۹۶۶ متر اندازه‌گیری کرده‌اند، این در حالی است که ضخیم‌ترین توالی سازند آغازگاری در چاه شماره یک میدان پاپیله در ۳۵ کیلومتری شمال شرق دزفول به میزان ۴۶۵۸ متر حفاری و گزارش شده است، این در حالی است که میزان فرسایش یافته این سازند در این ناحیه مشخص نمی‌باشد.

میدان نفتی بی‌بی‌حکیمه در ناحیه فروافتادگی دزفول و در بخش دزفول جنوبی واقع شده است. این میدان در مجاورت میادین نفتی معروف دیگری نظیر رگ‌سفید، پازنان، سیاه مکان، کیلور کریم، گرنگان و سولابدر قرار دارد. ابعاد این میدان به طول حدود ۸۴ کیلومتر و عرض ۷ کیلومتر می‌باشد. امتداد محوری تاقدیس بی‌بی‌حکیمه همچون بسیاری از ساختارهای زاگرس شمال غرب-جنوب شرق می‌باشد. محدوده مورد مطالعه در بخش‌هایی از نواحی جنوب شرق میدان و محاط در محدوده چاه‌های شماره ۹۹، ۱۰۰، ۱۴۸ و ۱۵۸ واقع شده است. مسیر دسترسی به این محدوده از طریق جاده زیدون به بندر دیلم، سه راه کافه درویش به سمت چهارراه بی‌بی‌حکیمه و پس از ورود به میدان به سمت حرم بی‌بی‌حکیمه و واحد شماره یک بهره‌برداری میدان، سپس به سمت منطقه سنگ عروس و چاه‌های ذکر شده می‌باشد.

رخساره‌های مورد بحث و همچنین مقطع عرضی یک رودخانه قدیمی است. پس از تعیین برش مناسب، عملیات صحرایی به منظور بررسی ویژگی‌های زمین‌شناسی منطقه شامل پیمایش‌های سطحی، عکس‌برداری، برداشت ویژگی‌های صحرایی و اندازه‌گیری‌های مدنظر و برداشت نمونه‌های دستی مورد نیاز صورت پذیرفت. حدود ۱۹ نمونه دستی از لایه‌ها و رگه‌های آهکی، ماسه سنگی و ذغالی گسترش یافته در برش انتخاب شده برداشت گردید و برای انجام بررسی‌های آزمایشگاهی از آنها ۲۰ مقطع نازک تهیه شد. لازم به ذکر است که نمونه برداری از لایه‌های مارنی و سیلتستونی این برش به دلیل اینکه عملاً فاقد بایوتای قابل توجهی بودند انجام نگردید. حدود ۱۰۰ عکس میکروسکوپی نیز از خصوصیات رخساره‌های شناسایی شده گرفته شد. برای شناسایی ویژگی‌های سنگ‌شناسی و سایر توصیفات سازند آغازگاری در حفاری‌های زیرسطحی، از اطلاعات ۱۴ حلقه چاه نفت حفاری شده در محدوده مورد مطالعه استفاده گردید. پس از جمع‌آوری داده‌های لازم، تجزیه و تحلیل و تفسیر داده‌ها، شناسایی مجموعه‌های سنگواره‌ای و توصیف محيط‌های رسوبی شناسایی شده بر مبنای جدیدترین و مشابه ترین مطالعات انجام شده داخلی و خارجی صورت گرفت.

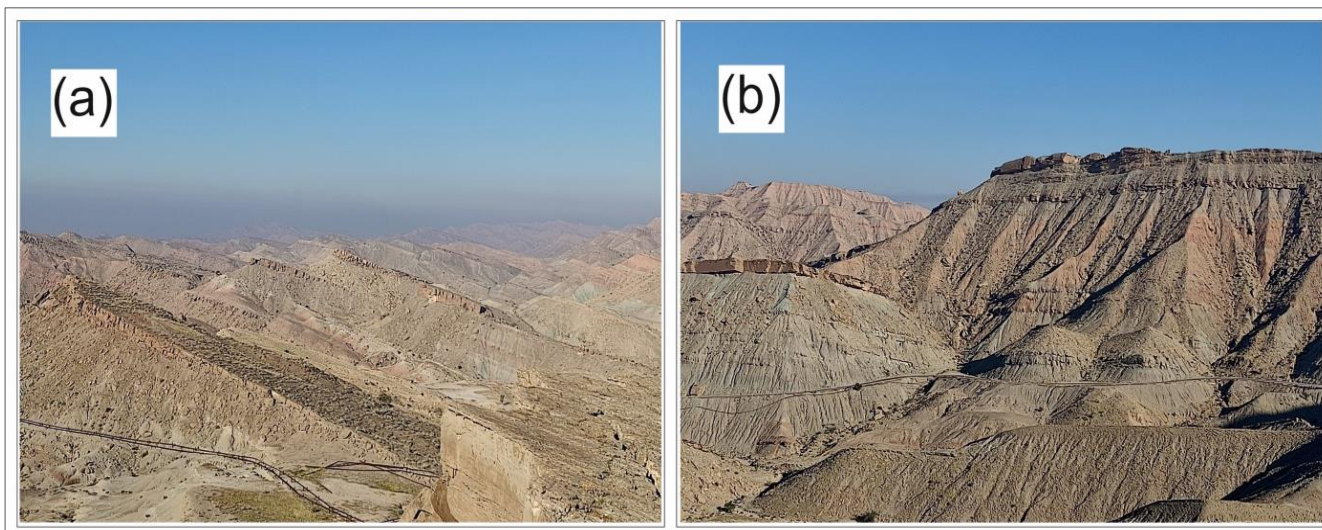
### ۳- زمین‌شناسی منطقه مورد مطالعه

محدوده مورد مطالعه دربخش جنوب شرقی تاقدیس (میدان عظیم نفتی) بی‌بی‌حکیمه با مختصات جغرافیایی  $50^{\circ} ۴۵' E$  و  $۳۰^{\circ} ۰' S$  عرض شمالی  $۵۰^{\circ} ۵' E$  طول شرقی و  $۲۹^{\circ} ۰' S$  عرض شمالی قرار گرفته است (شکل ۱). در میدان نفتی بی‌بی‌حکیمه با توجه به نبود و فرسایش سازند بختیاری، سازند آغازگاری غالباً به عنوان اولین سازند دارای رخنمون در منطقه گسترش یافته است (شکل ۲). در محدوده مورد مطالعه، سازند آغازگاری به صورت تدریجی بر روری سازند میشان قرار گرفته و از لحاظ سنگ‌شناسی شامل مارن‌ها و سیلتستون‌های قرمز رنگ ضخیم لایه، مارن‌های خاکستری و زیتونی رنگ ضخیم لایه، ماسه‌سنگ‌های ضخیم لایه قهوه‌ای و قرمز متداول به قهوه‌ای، لایه‌های متوسط تا نازک آهکی و چندین لایه نازک و همچنین متوسط لایه اندیزی است. یکی از تفاوت‌های سنگ‌شناسی



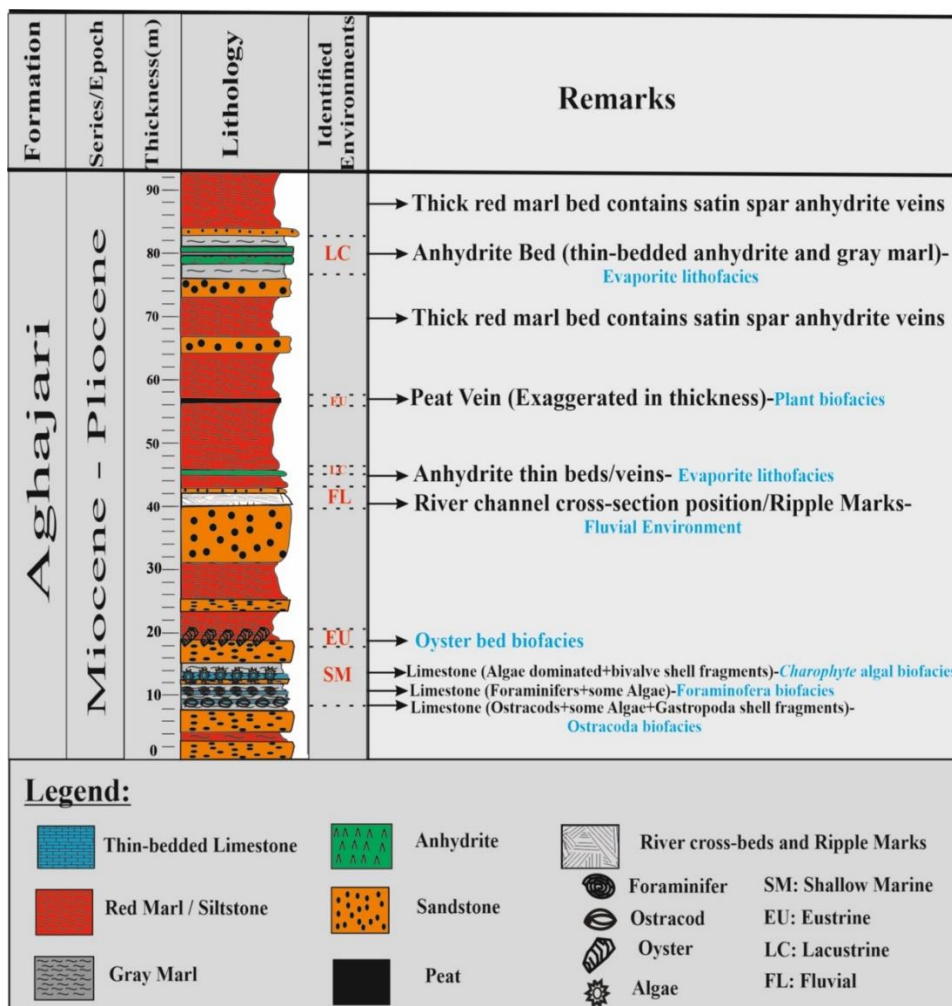
شکل ۱- موقعیت محدوده مورد مطالعه، (a) در نقشه پهنه‌بندی ساختاری ایران با اندکی تغییرات از (Sherkati et al., 2006)، و (b) در میدان نفتی بی‌بی حکیمه.

Fig. 1. Study area location, (a) in the structural division map of Iran (modified from Sherkati et al., 2006), and (b) in the Bibi Hakimeh oil field.



شکل ۲- نمایی از سازند آگاجاری (a) در بخشی از میدان بی‌بی حکیمه، دید به سمت شمال و (b) در محدوده مورد مطالعه، دید به سمت شرق. در هر دو تصویر خطوط لوله انتقال نفت به عنوان مقیاس می‌باشند.

Fig. 2. A view of the Aghajari Formation in (a) a part of the Bibi Hakimeh oil field, view towards the north, and (b) in the study area, view towards the east. In both pictures, oil pipelines are used as scales.



شکل ۳- ستون سنگ چینه‌ای سازند آگاجاری در برش سطحی مورد مطالعه.

Fig.3. Lithostratigraphic column of the Aghajari Formation in the studied surface section.

جدول ۱- ضخامت حفاری شده سازند آگاجاری در چاههای نفتی موجود در محدوده مورد مطالعه.

Table 1. The drilled thickness of the Aghajari Formation in oil wells of the study area.

No.	Well Code	Well Position	AJ. Thickness
1	BH#090	North Flank	354
2	BH#099	North Flank	406
3	BH#100	North Flank	314
4	BH#114	North Flank	410
5	BH#135	North Flank	380
6	BH#151	North Flank	466
7	BH#146	Crest	112
8	BH#148	South Flank	830
9	BH#154	South Flank	916
10	BH#158	South Flank	740
11	BH#166	South Flank	287
12	BH#167	South Flank	416
13	BH#173	South Flank	932
14	BH#186	South Flank	423

#### ۴-۱-۱-۴- رخساره زیستی کربناته استراکودها

یکی از رخساره‌های زیستی کربناته‌ای که در قاعده توالی مورد مطالعه سازند آغازاری مشاهده گردید، رخساره کربناته حاوی استراکوده است. در محدوده مورد مطالعه این رخساره در لایه‌های آهکی نازکی به رنگ گرم متمایل به خاکستری روش گسترش یافته است. ضخامت این لایه‌ها متغیر بوده و از چند سانتیمتر تا حدود نیم متر در سطح دیده می‌شوند. در برخی از چاههای منطقه لایه‌های آهکی با خصوصیات نسبتاً مشابهی تا ۲ متر هم گزارش شده‌اند. استراکودها یکی از ابزارهای مهم در دیرینه‌شناسی برای شناسایی و تجزیه و تحلیل اقیانوس‌نگاری قدیمه (paleoceanography) تعبیین محیط‌های رسوی و شرایط حاکم بر آنها، بررسی شرایط اقلیمی دیرینه و مطالعات زیست‌چینه‌نگاری هستند که بسیاری از محققین در مطالعات چینه‌نگاری و دیرینه‌شناسی از این ابزار بهره می‌گیرند (Boomer et al., 2003; Danielopol et al., 2007; Hassani and Hossienpour, 2018; Gouramanis, 2020). استراکودها متعلق به رده Arthropoda و راسته Crustacea و شامل دو دسته هستند، استراکودهای آب‌های شیرین و لب‌شور (non-cypridean) و استراکودهای دریایی (cypridean). استراکودهای گزارش شده برای سازند آغازاری توسط James (۱۹۶۵) همگی از نوع دریایی هستند، از جمله: Bairdia sp., Cytheridea sp., Trachyleberis sp. استراکودها می‌توانند هم به صورت کفرزی و هم شناور زیست نمایند. معمولاً استراکودهای آب شیرین دارای کارپاس‌های صاف، نازک و ضعیف و لوپیایی شکل هستند (Ruiz et al., 2013). استراکودهای شناور نیز پوسته‌ایی طریف و نازک و صاف و زائد شناگری (Antennula) دارند. اما استراکودهای کفرزی دریایی دارای صدف‌هایی نسبتاً مخت (keshidه)، سبر و محکم و پر حفره هستند. در محیط‌های با انرژی بالا صدف‌های آنها دارای زوائد و ترئینات متعددی است (Ruiz et al., 2013; Alivernini et al., 2020). در شکل ۵ تصاویر میکروسکوپی سه رخساره استراکودها، روزنبران کفرزی و جلبکی در کنار هم نمایش داده شده‌اند. همانگونه که در شکل‌های ارائه شده دیده می‌شود، صدف‌های استراکودهای موجود در رخساره آهکی سازند آغازاری در محدوده مورد مطالعه، ضخیم می‌باشد و حتی در برخی از تصاویر، مقاطع و اثراتی از ترئینات روی صدف هم مشاهده می‌گردد (شکل ۵)، که همگی دال بر دریایی بودن این

#### ۴- توصیف رخساره‌های رسوی شناسایی شده و محیط رسوی آنها

محیط‌های رسوی، بخش‌های مختلف یک حوضه رسوی هستند که دارای ویژگی‌های فیزیکی، شیمیایی و زیستی مختص به خود می‌باشند و به واسطه این خصوصیات از سایر محیط‌های رسوی اطراف خود متمایز می‌گردند. با مطالعه و بررسی محیط‌های رسوی و خصوصیات رسوبات نهشته شده در آنها می‌توان اطلاعات مهمی را در زمینه نوع محیط رسوی، تغییرات سطوح آب دریاهای دیرینه، جغرافیای دیرینه و همچنین الگوهای انتشار و توزیع بایوتاها گوناگون و حتی فعالیت‌های تکتونیکی رخ داده در این حوضه‌ها به دست آورد (Rahimpour Bonab, 2020). محیط‌های رسوی همچنان که عامل اصلی ایجاد رسوبات و سنگ‌شناسی‌های مختلف هستند، سبب تشکیل و پیدایش رخساره‌های سنگی و زیستی متنوع نیز می‌گردد و لذا برای تفسیر و تجزیه و تحلیل محیط‌های رسوی باید رخساره‌های رسوی و تغییرات آنها بررسی گردد (Moussavi-Harami, 2013).

در این نوشتار نیز برای شناسایی تنوع محیط‌های رسوی سازند آغازاری، رخساره‌های رسوی مختلفی شناسایی و بررسی شدند که به ترتیب از قاعده توالی بررسی شده به سمت راس آن عبارتند از:

#### ۴- رخساره‌های کربناته

در میادین مختلف واقع در فروافتادگی دزفول، لایه‌های آهکی متعددی در سازند آغازاری مشاهده می‌گردد که البته بسیاری از این لایه‌ها در اعماق بوده و در حین حفاری تشخیص داده شده‌اند و در نمودارهای ترسیمی سرچاهی (Graphic well logs) ثبت شده‌اند. میادینی نظیر مارون، اهواز، رگ‌سفید، بی‌بی حکیمه و قلعه‌نار از این دسته‌اند. در بسیاری دیگر از میادینی که در آنها سازند آغازاری رخنمون دارد این لایه‌های آهکی را می‌توان در سطح یافت و دنبال کرد. غالب این آهک‌ها از لحاظ تقسیم‌بندی آرچی در رده آهک‌های تایپ II و یا II/I قرار دارند و عمده‌ای رسی هستند. در میدان بی‌بی حکیمه نیز لایه‌های آهکی متعددی در نواحی مختلف میدان در سازند آغازاری یافت می‌شوند (شکل ۴). در محدوده مورد مطالعه، این لایه‌های نازک آهکی شامل رخساره‌های متفاوت روزنبران، جلبک‌ها و استراکودها می‌باشند که هر کدام از رخساره‌های فوق الذکر در بخشی از این لایه‌های آهکی، غالب هستند.

معادل زون زیستی تجمعی شماره ۶۶ Wynd (1965) تحت عنوان:

Elphidium-Rotalia-Ostracoda Assemblage zone (Wynd, 1965)

می‌باشد که سن میوسن پسین-پلیوسن برای آن در نظر گرفته شده است. محیط رسویی که برای این رخساره در نظر گرفته می‌شود معمولاً نواحی کم‌عمق و کم انرژی لاغون به سمت ساحل است (BouDagher-Fadel, 2018). نمونه‌های کارن (keel) دار جنس Elphidium بر روی سطح بسترها نسبتاً نرم گلی و ماسه‌ای به صورت آزاد و در مجاورت علف‌های دریایی و تا عمق ۵۰ متری زیست می‌کنند. البته جنس‌های بدون کارن آنها می‌توانند در بسترها گلی و ماسه‌ای نواحی حدوداً همچون تالاب‌ها و لاغون‌های ساحلی نیز گسترش یابند (Hughes, 2014). در محدوده مورد مطالعه لایه‌های آهکی حاوی روزنبران کفازی از نیم متر تا حدود یک متر ضخامت دارند و این لایه‌ها در فاصله ۱۱ متری از قاعده برش مورد مطالعه قرار دارند.

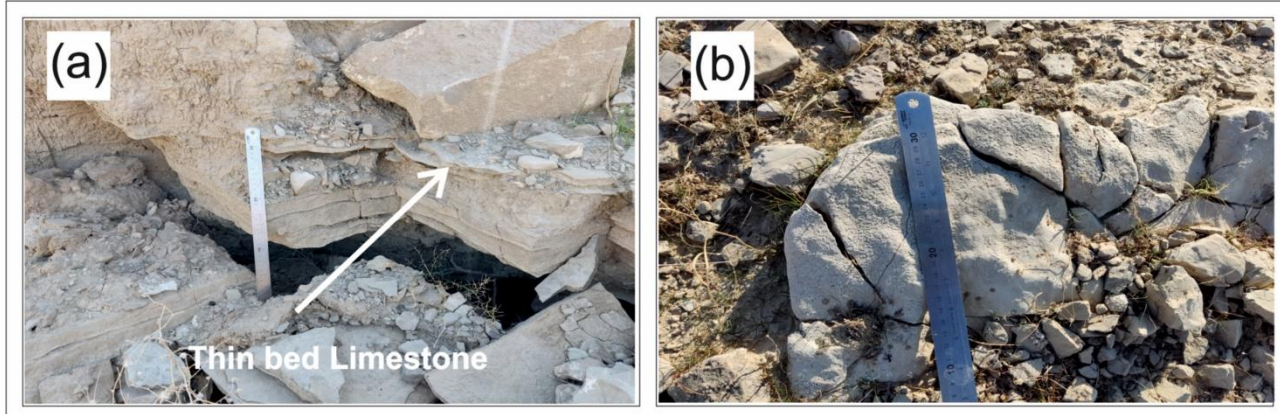
استراکودها هستند. ضخامت لایه‌های کربناته در برگیرنده استراکودها در محدوده مورد مطالعه به طور متوسط بین ۰/۵ تا ۷/۰ متر می‌باشد و حدوداً در فاصله ۹ متری از قاعده برش مورد مطالعه قرار گرفته‌اند.

#### ۴-۲-۱-۴- رخساره زیستی کربناته روزنبران کفازی

روزنبران کفازی به ویژه روزنبران با پوسته آهکی پورسلانوز (porcelaneous) در شرایط آب‌های کم‌عمق و کم انرژی کرانه‌ای و لاغون‌ها زیست می‌نمایند. معمولاً این جانداران برای تفسیر محیط‌های رسویی دیرینه از لحاظ عمق، دما، شوری، میزان نفوذ نور، انرژی آب و دیگر فاکتورهای زیست محیطی آب (BouDagher-Fadel, 2018) دریابها بسیار کاربردی هستند. یکی از رخساره‌هایی که در لایه‌های آهکی سازند آغاجاری محدوده مورد مطالعه توسعه یافته است، رخساره روزنبران غالب (foraminifera dominated) گسترش یافته‌اند (شکل ۵):

Elphidium haueriunum (d'Orbigny, 1846), small rotalids, rare Nonion sp.

این روزنبران به همراه مقادیر زیادی خردکهای صدف دوکفه‌ای و مقادیر اندکی جلبک دیده می‌شوند. این رخساره



شکل ۴: نمایی از آهک‌های نازک لایه توسعه یافته در سازند آغاجاری (a) آهک بسیار نازک لایه حاوی جلبک‌های کاروفیت، (b) آهک نازک لایه حاوی روزنبران کفازی.

Fig.4. Views of the thin layer limestones dominated within the Aghajari Formation in the study area, (a) Very thin layer limestone containing the *Charophyte* algae, (b) Thin layer limestone containing benthic foraminifers.

آب‌های کم‌عمق ساحلی و درون خشکی زندگی می‌کنند و گونه‌های مختلف آنها توانایی سازگاری با شوری، قلیایی بودن، و عمق‌های متفاوتی را دارند. کاروفیت‌ها معمولاً در محیط‌های بسیار کم‌عمق تا ۵۰ متر با انرژی کم نظیر نواحی کرانه‌های حاشیه‌ای (marginal coasts)، دریاچه‌های لب‌شور ساحلی

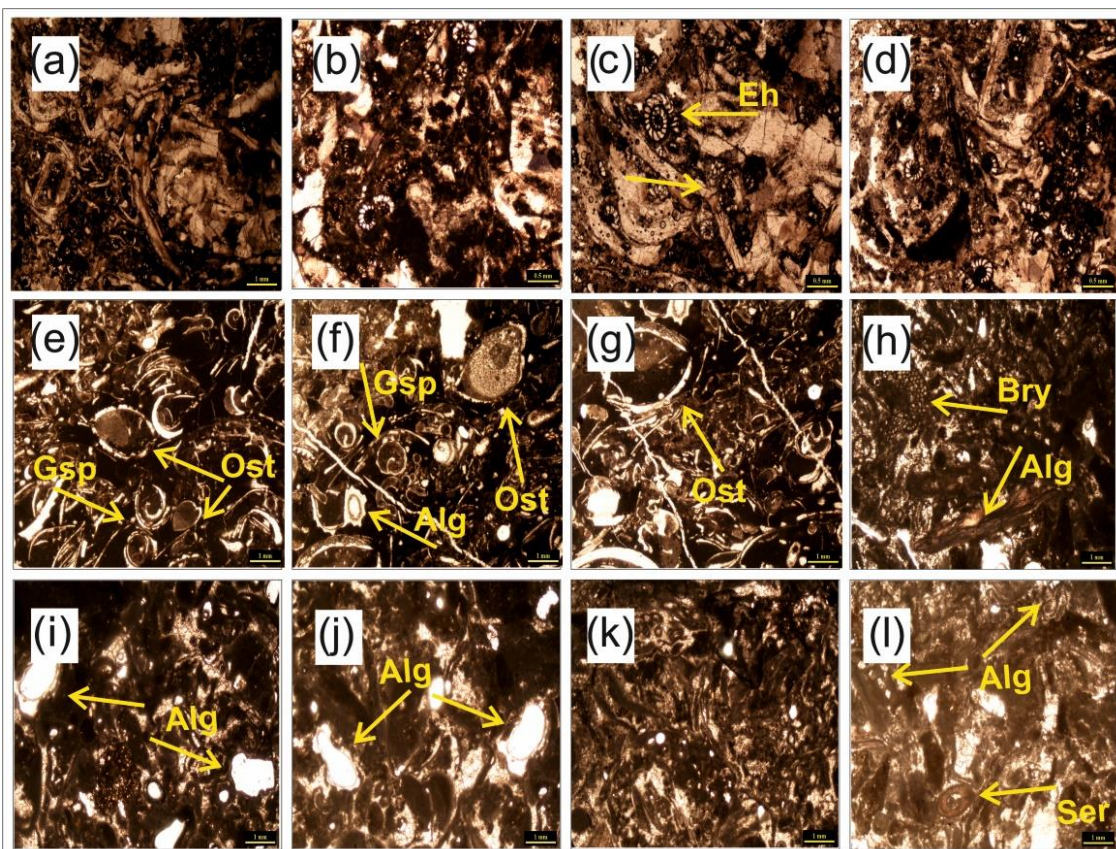
#### ۴-۳-۱-۴- رخساره زیستی کربناته جلبک‌های کاروفیت

جلبک‌های مشاهده شده در این رخساره متعلق به رده کاروفیتا (Charophytta) می‌باشند. جلبک‌های کاروفیت از جلبک‌های سبز می‌باشند که شباهت‌های زیادی با برخی از گیاهان خشکی دارند. این جلبک‌ها بر روی بسترها نرم محیط‌های مختلف

خشکی و تغییر شوری آب از آبهای نسبتاً شیرین و لبشور به آبهای با شوری بالاتر و همچنین نشان دهنده تبدیل محیط‌های حدوداً میان‌آبی (marginal marine conditions) در محیط‌های کم عمق حاشیه‌ای، وجود برخی از جلبک‌های کاروفیت به میزان اندک در کنار استراکودهای با کاراپاس ضخیم نشانگر افزایش عمق و بیشتر شدن میزان شوری و انرژی آب است (Perez-Canو et al., 2022). در محدوده مورد مطالعه ضخامت لایه‌های آهکی دربرگیرنده جلبک‌های کاروفیت نسبت به سایر رخساره‌های آهکی بسیار کمتر است و شامل لایه‌های نازک آهکی ۳ الی ۱۰ سانتی‌متری می‌باشد. این لایه‌ها در فاصله حدوداً ۱۴ متری از قاعده برش مورد مطالعه قرار گرفته‌اند.

(coastal brackish lakes) تا عمق حدوداً ۱۲ متری و دریاچه‌های کم عمق آبهای شیرین و سایر محیط‌های آب شیرین درون خشکی یافت می‌شوند. (Hughes, 2014; Trabelsi et al., 2016).

در محدوده مورد مطالعه، این جلبک‌ها غالباً به صورت مجرا و یا به میزان کمتر همراه با روزنبران کفزاً و استراکودها دیده می‌شوند. رخساره‌هایی که بیشتر جلبک‌های کاروفیت در آنها دیده می‌شود، مربوط به محیط‌های آبهای نسبتاً شیرین تا لب‌شور نواحی نزدیک و مجاور کرانه‌های ساحلی هستند یعنی جایی که آبهای شور دریایی به میزان کمتری آبهای شیرین نزدیک به سواحل را تحت تاثیر قرار می‌دهند. رخساره‌هایی که حاوی روزنبران کفزاً و جلبک‌های کاروفیت هستند، نشانگر آرژی نسبتاً بیشتر آب و تاثیر بیشتر محیط دریایی بر محیط



شکل ۵: تصاویر میکروسکوپی از رخساره‌های کربناته شناسایی شده (a) تا (c) رخساره کربناته روزنبران کفزاً حاوی Elphidium haueriunum (Eh)، (d) تا (h) رخساره کربناته استراکود حاوی استراکودهای با کاراپاس ضخیم و شکم‌پا (i) تا (l) رخساره کربناته جلبک‌های کاروفیت حاوی جلبک‌های کاروفیت (Alg)، برویزوآ (Bry)، و سرپولید (Ser).

Fig. 5. Photomicrographs of the identified carbonate facies, (a to c) Benthic foraminifera carbonate facies containing *Elphidium haueriunum* (Eh), (d to h) Ostracoda carbonate facies containing thick Carapace ostracods and gastropods, (i to l) Charophyte algae carbonate facies containing Charophyte algae (Alg), bryozoans (Bry), and Serpulids (Ser).

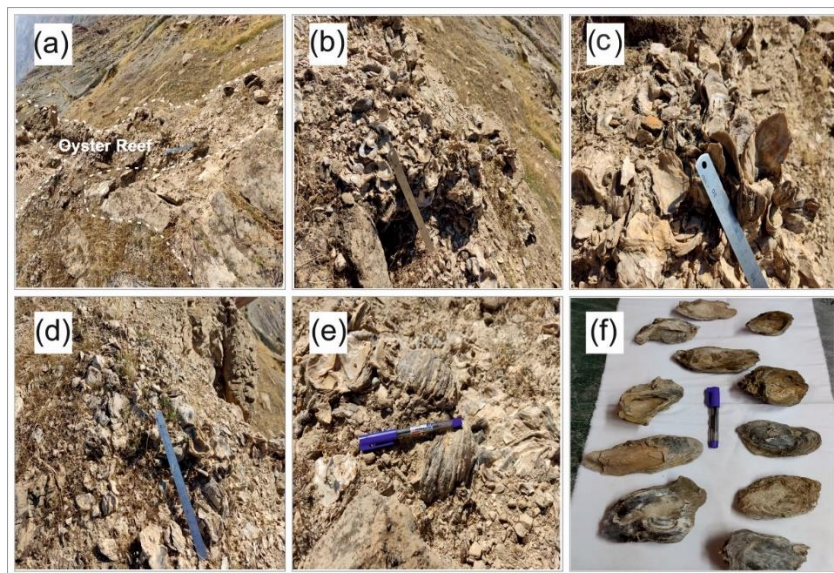
Harzhauser et al., 2015; Santhi et al., 2022 توسعه این دسته از اویسترها در میوسن و پلیوسن پیشین بوده است که جایگزین گونه‌های کوچکتر و ظرفی‌تر شدند. طول صدف در این گونه تا ۸۰ سانتی‌متر هم می‌رسد. در محدوده مورد مطالعه نمونه‌هایی تا حدود ۳۰ سانتی‌متر یافت گردید. از میوسن تا کواتررنر بسیاری از گونه‌های مرتبط با جنس *Magallana* محیط‌های کم‌عمق دریایی را به سمت محیط‌های حدواسط خلیج دهانه‌ای به دلیل افزایش شکارچیان دریایی ترک کردند و بسترها نرم و ماسه‌ای را در این محیط‌ها در تمامی کرانه‌های دریاهای پیرامونی تیس (Circum-) (Tethyan Mandic et al., 2004; Cuitino et al., 2013).

### ۳-۴- رخساره زیستی سنگواره‌های گیاهی

در محدوده مورد مطالعه یک لایه بسیار نازک (رگه) از سنگواره‌های گیاهان یافت شد که در بستری از رسوبات بسیار دانه‌ریز و گلی و کاملاً سیاه رنگ با بوی ملایم لجن قرار گرفته است (شکل ۷). این لایه نازک یک لایه پیت یا یک رگه ذغال‌سنگی است که اجزاء گیاهی درون آن کربونیزه شده‌اند. ضخامت این لایه نازک پیت تقریباً ۱۰ سانتی‌متر بوده و در حدود ۵۷ متری از قاعده برش واقع شده است. این اجزاء شامل قطعاتی از برگ، ساقه و پوسته ساقه (bark) گیاهان می‌باشند. در برخی از میادین جنوب غرب ایران، از جمله میادین اهواز، کوپال، منصورآباد، مارون و زیلایی به هنگام حفاری سازند آغازاری خردنه‌هایی از ذغال در برخی از نمونه‌های حفاری مشاهده می‌گردد که باعث سردرگمی برخی از زمین‌شناسان سرچاهی می‌شود و معمولاً این خردنه‌های ذغالی را مربوط به عوامل خارجی مانند مواد اولیه نامرغوب سیال حفاری و یا کثیف بودن مخازن گل حفاری می‌دانند، در صورتی که به احتمال فراوان این خردنه‌های ذغالی متعلق به لایه‌های ذغالی مشابهی است که در اعمق و درون سازند آغازاری این میادین گسترش یافته‌اند. متساقنه وجود این خردنه‌های ذغالی و یا داده‌هایی این چنین، در نمودارهای ترسیمی سرچاهی در سازند آغازاری ثبت نشده و یا به ندرت ثبت شده‌اند.

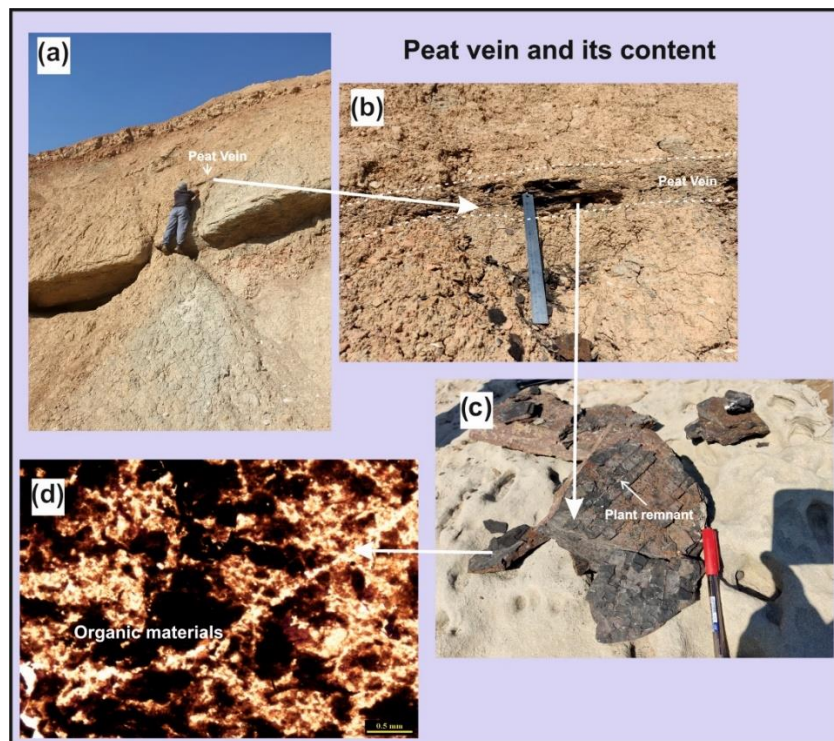
### ۴-۲- رخساره زیستی لایه‌های اویستردار

یکی دیگر از رخساره‌های مهمی که در محدوده مورد مطالعه در سازند آغازاری مورد بررسی قرار گرفت، رخساره لایه‌های اویستردار است. در مناطق مختلف میدان بی‌بی حکیمه و برخی دیگر از میادین جنوب غرب ایران همچون میدان‌های رگ‌سفید، پازنان، نفت‌سفید و برخی دیگر از میادین، پوسته‌های صدف‌های اویستر عمده‌تاً به صورت مجزا و محدود و با ضخامت کم در سازند آغازاری یافت می‌شوند، اما در محدوده مورد مطالعه کولونی‌ها و انباسته‌های بسیار پر حجمی از اویسترها مشاهده می‌گردد که قطعاً یک ریف اویستری در منطقه بوده است (شکل ۶). ضخامت توده‌ها و انباسته‌های اویستری در محل نمونه برداری از حدود ۳۰ سانتی‌متر تا کمی بیش از یک متر متغیر است. این انباسته‌های اویستری در فاصله حدوداً ۱۹ متری از قاعده برش مورد مطالعه قرار گرفته‌اند. لازم به ذکر است که اجتماعات و توده‌های اویسترها را با اسمی مختلفی همچون مقرهای oyster اویستری (oyster bottoms)، لایه‌های اویستردار (beds)، پشت‌های اویستری (oyster banks) و ریف‌های Cuitino et al., 2013) اویستری (oyster reefs) می‌شناسند. عده اویسترها موجود در ریف اویستری بررسی شده در محدوده مورد مطالعه متعلق به گونه (Schlotheim, 1820) *Magallana gryphoides* می‌باشد که پیش از این در Crassostrea مطالعات فراوان گذشته تحت نام گونه *gryphoides* مورد مطالعه قرار می‌گرفته است. محدوده سنی این گونه منقرض شده میوسن تا پلیوسن پسین بوده است. این گونه اویستری دوکفه‌ای‌هایی چسبیده به یک بستر (sessile) با کفه‌هایی بسیار ضخیم بوده‌اند که کفه چپ بسیار بزرگ‌تر از کفه راست است. از دیگر اویسترها موجود در این ریف اویستری، جنس *Ostrea sp.* می‌باشد که به میزان کمتری مشاهده گردید. گونه و جنس اویسترها فوق الذکر در ناحیه شمال بندرعباس در سازند میشان نیز گزارش شده‌اند (Hossienpour and Dastanpour, 2011). بسیاری از گونه‌های راسته Ostridae در آبهای ساحلی کم‌عمق در امتداد نواحی وسیعی از خطوط کرانه‌ایی زیست می‌نمایند. گونه *Magallana gryphoides* به زندگی و رشد و نمو در محیط‌های خلیج دهانه‌ای و محدوده میان جزر و مدی



شکل ۶: لایه اویستردار، (a) نمایی از بخشی از لایه اویستردار گسترش یافته در سازند آغازاری در محدوده مورد مطالعه، (b) الی (d) کولونی‌های اویسترها موجود در ریف اویستری، (e) جنس Ostrea sp. (f) گونه Magallana gryphoides.

Fig.6. Oyster bed, (a) A view of the oyster bed extended in the Aghajari Formation in the study area, (b to d) Colonies of oysters in the oyster reef, (e) Genus Ostrea sp., (f) Species Magallana gryphoides.



شکل ۷: نمایی از رگه پیت گسترش یافته در منطقه و محتویات آن (a) نمای دور از رگه پیت درون مارن‌ها و سیلتستون‌های قرمز رنگ، (b) رگه پیت به ضخامت حدود ۱۰ سانتیمتر (c) بخشی از رسوبات دانه‌بریز و تکه‌هایی از بقایای گیاهی درون رگه پیت و (d) تصویر میکروسکوپی از رسوبات درون رگه پیت که کاملاً ریزدانه و حاوی مقدادی زیادی مواد آلی است.

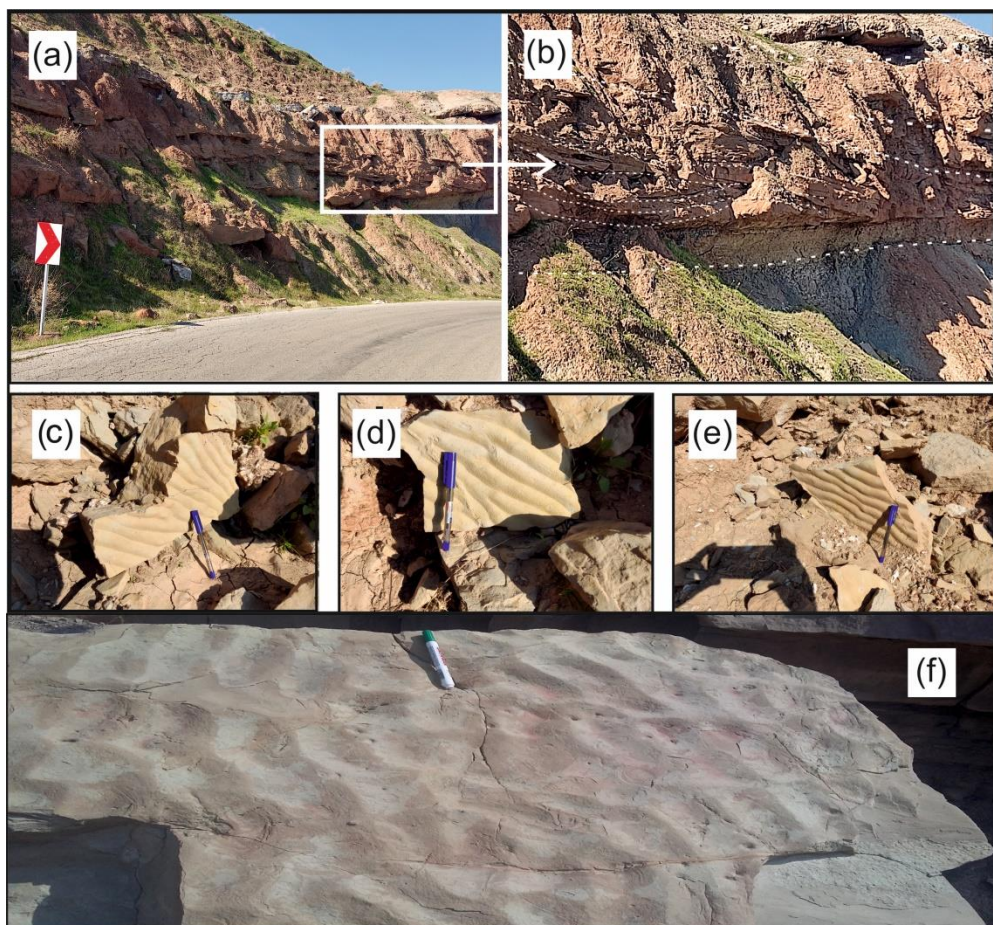
Fig. 7. A view of the dominated peat vein in the region and its contents (a) Distant view of the peat vein within the red marls and siltstones, (b) Peat vein about 10 cm. thick, (c) Part of fine grain sediments and pieces of plant remains inside the peat vein, and (d) Photomicrograph of the sediments within the peat vein, which are very fine-grained and contain large amounts of organic materials.

احتمالاً متعلق به برگ و ساقه نوعی مانگرو و یا گیاهان شبه مانگرو (mangrove-like) باشند (شکل ۱۰). پوشش‌های گیاهی حرا یا مانگروها (mangroves) به عنوان یک زیستگاه پویا حدواتر و تدریجی یا یک ecotone میان خشکی و دریا محسوب می‌شوند. اکتون‌ها نواحی و محدوده‌هایی حدواتر و تدریجی هستند که در میان دو محیط یا زیستگاه متفاوت با جوامع زیستی متفاوت قرار می‌گیرند که در آنها این دو زیستگاه متفاوت به هم رسیده و با هم ادغام می‌شوند (Rivera, 2007). محیط‌های رسوی حدواتر، نواحی پر جنب و جوشی هستند که در بلافصل خشکی و دریا قرار گرفته‌اند. این محیط‌ها در نواحی جزر و مدی و در کرانه‌های ساحلی و محل ورود رودخانه‌ها (مصب) به دریا در نواحی استوایی و نیمه استوایی توسعه می‌یابند. مانگروها به عنوان یک کمربند تدریجی و انتقالی گسترده شده در نواحی با تپوگرافی پست میان خشکی و دریا در نظر گرفته می‌شوند. اکثر قریب به اتفاق مانگروها در بسترها نرم گلی و گاه ماسه‌ای رشد و نمو می‌نمایند. این دسته از گیاهان توانایی تحمل جزر و مدهای شدید، بادهای تند، دماهای بالا و بسترها گلی غیر هوایی را دارند (Kathiresan and Bingham, 2001).

مانگروها از خانواده‌های گیاهی مختلف و متفاوتی مشتق شده‌اند و از نظر وابستگی به زیستگاه‌های ساحلی شرایط متفاوتی دارند. گونه‌های مختلف مانگرو در نواحی پایین دست و میانی مصب رودخانه، باتلاق‌های نمکی و در نواحی جزر و مدی یعنی محیط‌های حدواتر یافت می‌شوند. مانگروها انواع متنوعی دارند که شامل درختی، درختچه، نخلی شکل و بوته‌ای هستند. به دلیل شوری زیاد آب، در برگ‌های این گیاهان غده‌های بسیار زیادی وجود دارند که در اطراف روزنه‌های هوایی (stomata) قرار گرفته‌اند، لذا نمای میکروسکوپی برگ‌ها بسیار پیچیده با روزنه‌ها و سلول‌های بسیار زیاد کنار هم دیده می‌شوند. علاوه بر برگ گیاه، پوسته ساقه گیاه نیز خصیصه‌های (traits) مشابهی را از خود نشان می‌دهد (Branoff, 2018). فرض بر این است که در تمامی طول سواحل تیس، از جمله ایران، از کرتاسه به بعد گونه‌های مختلفی از جنس‌های Avicennia sp. و Rhizophora sp. وجود داشته و توسعه یافته‌اند (Srivastava and Prasad, 2019).

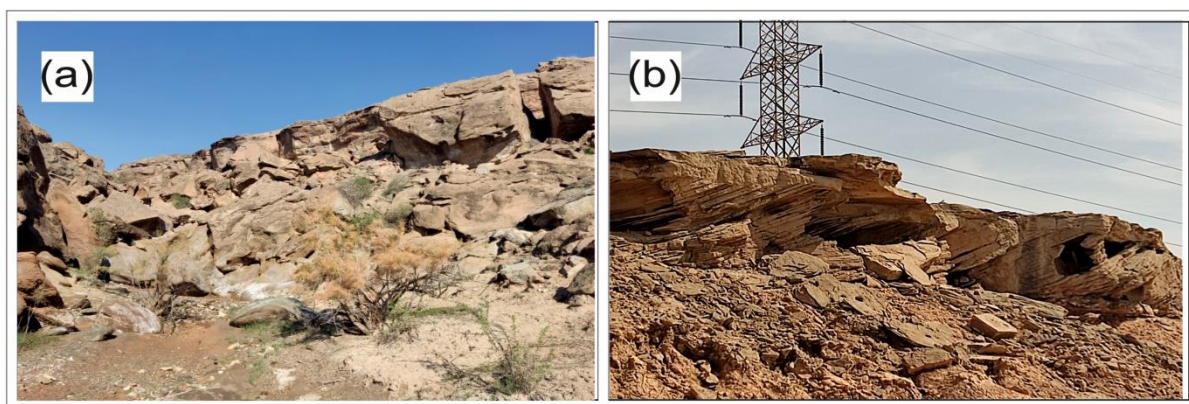
با توجه به اینکه در اکثر نواحی حوضه رسوی زاگرس برای سازند آغازگاری محیط رسوی رودخانه‌ای و در نواحی نزدیک به خلیج فارس، محیط رسوی دریایی در نظر گرفته شده است، لذا برای سنگواره‌های گیاهی یافت شده در این سازند می‌توان زیستگاه‌های (habitats) متفاوتی نظیر دشت‌های سیلابی، باتلاق‌های نمکی، پهنه‌های جزر و مدی و محیط‌های خلیج دهانه‌ای را در نظر گرفت (Evans, 2016). برای متصور شدن اغلب محیط‌های رسوی مذکور می‌باشد اثرباره از وجود رودخانه در محدوده مورد مطالعه یافت می‌شود، به همین خاطر اکثر لایه‌های ماسه‌سنگی برای یافتن لایه‌بندی متقاطع (cross-bedding) و لایه‌های مارنی و سیلیستونی برای وجود مقاطع کanal‌های رودخانه‌ای مورد بررسی قرار گرفت، که مقطعی از یک رودخانه متوسط و ریپل مارک‌های آن شناسایی گردید (شکل ۸)، البته لایه‌های ضخیم و نازک ماسه‌سنگی در منطقه تقریباً فاقد لایه‌بندی متقاطع و یا دارای اثرات ضعیفی بودند. در برخی از نقاط میدان نفتی بی‌بی حکیمه و در میادین و مناطق دیگری از جنوب فروافتادگی دزفول، در بسیاری از لایه‌های ماسه‌سنگی لایه‌بندی‌های متقاطع زیبایی مشاهده می‌گردد. در شکل ۹ مقایسه‌ای از وجود لایه‌بندی متقاطع در لایه‌های ماسه‌سنگی سازند آغازگاری در میدان بی‌بی حکیمه و میدان مارون نمایش داده شده است. به منظور شناسایی نوع گیاهان و جنس‌های بقاوی گیاهی (plant remains or remnants) یافت شده با چند منبع گیاه‌شناسی معتبر اروپایی و آمریکایی از طریق ایمیل مکاتبه گردید. هر چند از نظر این منابع برای شناسایی دقیق این گیاهان می‌باشد مطالعات دقیق پالینولوژی صورت گیرد ولی به طور کلی اتفاق نظر بر این بود که با توجه به فراوانی و ماهیت این سنگواره‌ها، این بقاوی گیاهی احتمالاً می‌توانند متعلق به جنس‌های مختلف گیاهان مانگرو یا حرا و یا گیاهان شبه مانگرو باشند.

همچنین لازم به ذکر است که در مطالعات میکروسکوپی انجام شده توسط Lucena و همکاران (۲۰۱۱)، Chomicki و همکاران (۲۰۲۰) و Siddique و همکاران (۲۰۲۱) بر روی برگ‌ها و ساقه‌های چندین جنس و گونه از مانگروها، تصاویر متعددی از ساختار میکروسکوپی برگ و ساقه آنها ارائه شده‌اند که این ساختارها شباهت‌های بسیار زیادی با ساختارهای مشاهده شده از بخش‌هایی از بقاوی گیاهی یافت شده دارند و



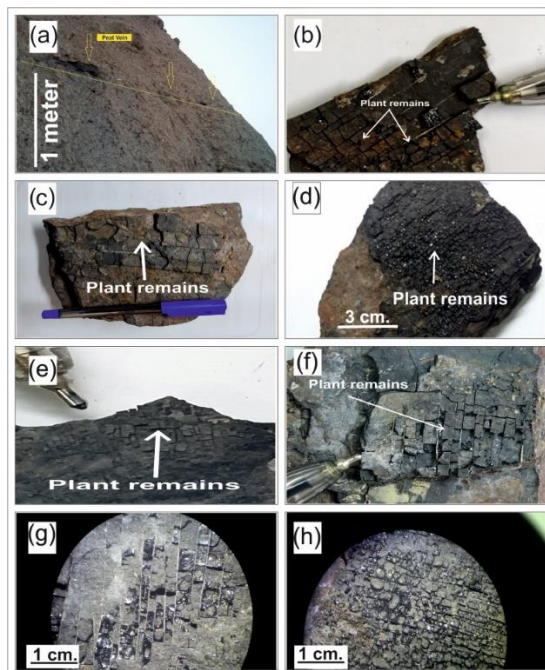
شکل ۸: تصاویری از وجود یک رودخانه قدیمی در محدوده مورد مطالعه، (a) و (b) مقطع عرضی از کانال یک رودخانه، (c، d و e) ریپل مارک‌های یافت شده در اطراف آن، و (f) ریپل مارک‌های موجود بر روی سطح یک لایه سیلتستون قرمز رنگ در نزدیکی کانال رودخانه.

Fig.8. Photographs of a paleo-river in the study area, (a and b) Cross section of a river channel, (c, d and e) ripple marks found around it, and (f) ripple marks on the layer surface of a red siltstone in the vicinity of the river channel.



شکل ۹: مقایسه ماسه سنگ‌های ضخیم لایه سازند آگاجاری در (a) میدان نفتی بی‌بی حکیمه بدون لایه‌بندی متقطع و یا اثرات بسیار ضعیف، و (b) میدان نفتی مارون با لایه‌بندی متقطع بسیار بزرگ و گسترده.

Fig.9. Comparison of the thick layer sandstones within the Aghajari Formation in (a) Bibi Hakimeh oil field, with no cross-bedding or very weak effects, and (b) Marun oil field, very large and extensive cross-bedding.



شکل ۱۰: بقایای گیاهی کربونیزه شده، (a) نمای دیگری از رگه پیت گسترش یافته در منطقه، (b) الی (f) تصاویر بقایای گیاهی درون رگه پیت، (g) و (h) تصاویر میکروسکوپ باینوکولار تکه‌های احتمالی پوست ساقه (g) و برگ (h) نوعی مانگرو.

Fig.10. Carbonized plant remains, (a) Another view of the peat vein extended in the region, (b) to (f) Pictures of the plant remains within the peat vein, (g) and (h) Binocular microscope images of possible fragments of a mangrove bark (g) and leaf (h).

دیگر از محیط‌های نهشته شدن تبخیری‌ها، فرورفتگی‌های وسیع درون خشکی با عمق آب بسیار کم و یا غیر دائمی است که عمدتاً بیش از نیمی از سال خشک هستند و گهگاه توسط توفان‌ها آبگیری می‌شوند که اصطلاحاً پلایا (playa) و یا دریاچه پلایا (playa lake) نامیده می‌شوند (Arche, 2008). رسوبات دریاچه‌ای می‌توانند همچون پلایاهای شامل تنابوی از رسوبات آواری دانه‌ریز و رسوبات تبخیری باشند. رسوبات آواری دانه‌ریز می‌توانند نشانگر دوره‌هایی از بر شدن دریاچه توسط باران‌های شدید و سیل‌آسا (pluvial periods)، یا تامین آب توسط روان‌آب‌های سطحی، گاه توسط آب‌های زیرزمینی و در مواردی هم توسط بالا آمدن سطح دریا باشند. رسوبات تبخیری نیز حاصل تبخیر شدید در دوره‌های گرم و بسیار گرم می‌باشند (Schnurrenberger et al., 2003). این نهشته‌ها غالباً با رسوبات آواری دانه‌ریز دریاچه‌ای، مخروط افکنه‌ها، رسوبات حمل شده توسط روان‌آبها و رودخانه‌های فصلی و زودگذر، طغیان‌های فصلی، ماسه‌های بادی و لایه‌های سرخ رنگ رسی در برگرفته می‌شوند (Warren, 2016).

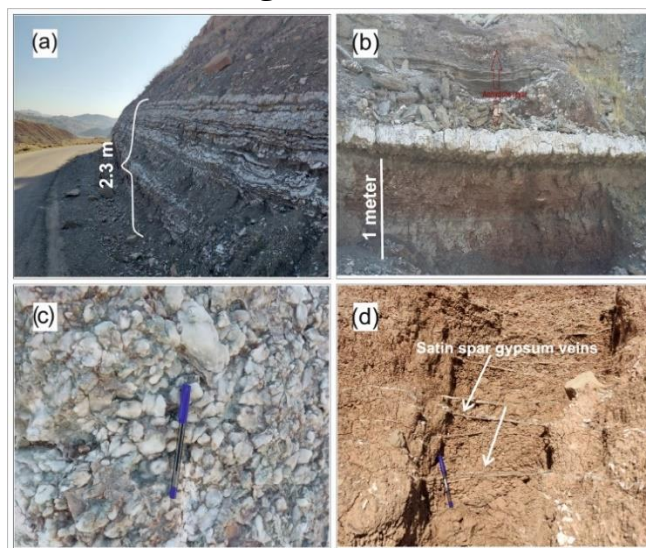
دریاچه‌ای فقط در حوضه‌های درون خشکی با زهکشی بسیار

#### ۴-۴- رخساره سنگی تبخیری

در محدوده مورد مطالعه لایه‌ها و رگه‌های متعدد ژیپس و انیدریت به صورت بارزی خودنمایی می‌کنند. طبق نظر Motiei (۱۹۹۳) وجود رگه‌ها و لایه‌های ژیپس در سازند آغازاری به ویژه در محدوده میدان بی‌بی حکیمه، نتیجه احتمالی تبخیر و خشک شدن دریاچه‌های فصلی هستند. در همین راستا این رخساره سنگی را مختصراً مورد بررسی قرار می‌دهیم.

رسوب‌گذاری تبخیری‌ها در دو محیط دریایی (marine) و غیر دریایی (non-marine) صورت می‌پذیرد. در مقیاس جهانی بسیاری از تبخیری‌ها در شرایط دریایی نهشته شده‌اند و Forkner (2010). تبخیری‌های دریاچه‌ای نسبت به تبخیری‌های دریایی خامات و گسترش جانبی کمتری دارند. یکی از محیط‌های رسوب‌گذاری تبخیری‌های غیر دریایی در دریاچه‌های بسته و بدون هیچگونه گذرگاه یا مسیر تامین آب و در نواحی خشک و نیمه خشک تشکیل می‌گردد. چنین دریاچه‌هایی در حوضه‌های درون خشکی و محصور و یا در فروافتادگی‌های کم‌عمق ایجاد می‌گردند که با آب دریا ارتباط ندارند (Warren, 2010). یکی

(Rosell, 2007). رگه‌های نازکی از ژیپس نیز درون سازند آغازی دیده می‌شوند که اکثراً درون درزهای تشکیل شده‌اند (گاه نسبتاً به موازات هم و گاه متقطع). این رگه‌های ژیپس پس از فرآیندهای رسوبگذاری و در اثر فعالیت‌های تکتونیکی ناحیه‌ای، پس از چین‌خوردگی و تشکیل درزهای و سپس ورود جریان‌های حاوی سولفات محلول به آنها، به صورت ثانویه تشکیل شده‌اند. ژیپس‌هایی که به صورت رگه‌ای در فضای میان درزهای و شکستگی‌های کششی ایجاد می‌گردند ژیپس‌های ساتین اسپار (Satin Spar) نامیده می‌شوند. در این رگه‌ها بخش مرکزی یا محور رشد کانی ژیپس نشان دهنده محل اولیه شکستگی است. تبلور کانی ژیپس از محور به سمت دیواره‌ها، بر دیواره‌های شکستگی فشار وارد کرده و فضای لازم را برای رشد عرضی ایجاد می‌نماید (Philipp, 2008). در برش مورد مطالعه لایه‌ها و رگه‌های بسیار نازک اندیریت و مارل و همچنین اندیریت‌های با بافت قلوه‌ای در قسمت‌های فوکانی توالی سازند آغازی و در بازه ضخامتی ۷۸ الی ۸۱ متری از قاعده برش مورد مطالعه مشاهده می‌شوند. بارزترین مجموعه این رگه‌ها و لایه‌های نازک در حدود  $\frac{2}{3}$  متر ضخامت دارد. رگه‌های ژیپس ساتین اسپار نیز با ضخامت ۱ الی ۳ سانتی‌متر درون دو لایه ضخیم مارن قرمز در قسمت‌های فوکانی توالی مورد مطالعه دیده می‌شوند (شکل ۱۱d).



شکل ۱۱- تبخیری‌های نهشته شده در محدوده مورد مطالعه: (a) توالی رگه‌ها و لایه‌های نازک تبخیری (اندیریت) با لایه‌های نازک آواری (مارن)، (b) لایه متوسط اندیریتی (۳۶ سانتی متر)، (c) نمای سطحی لایه‌های اندیریتی با بافت قلوه‌ای، (d) رگه‌های ژیپس ساتین اسپار درون مارن‌های قرمز سازند آغازی.

Fig.11. Deposited evaporites in the study area (a) Alternation of the thin evaporite (anhydrite) and detrital (marl) veins and layers, (b) Medium bedded anhydrite layer (36 cm.), (c) The surface view of anhydrite layers that show the nodular texture exquisitely, and (d) Thin satin spar gypsum veins inside the Aghajari Formation red marls.

اندک آب، بویشه در حوضه‌های بسته و یا حوضه‌های درون‌ریز (endorheic) تشکیل می‌شوند که اغلب توسط آبهای زیرزمینی تغذیه می‌شوند و گاه دارای نرخ‌های بسیار اندک فرونشست می‌باشند (Warren, 2010). در دریاچه‌های نمکی نهشته‌های تبخیری غالباً به صورت ژیپس تشکیل می‌شوند و به میزان کمتر انیدریت و سپس سایر کانی‌های تبخیری نهشته می‌شوند. لایه‌های ژیپس به صورت اولیه و در زمان حداقل تبخیر تشکیل می‌شوند. مهم‌ترین ویژگی ژیپس‌ها و انیدریت‌های دریاچه‌ایی، بخلاف بسیاری از تبخیرهای دریاچه‌ای، بافت قلوه‌ای یا nodular texture آنهاست که عمدها در پهنه‌های گلی دریاچه و حوضچه‌های نمکی (salt pans) ایجاد می‌گردند (Warren, 2016). همانگونه که در تصاویر دیده می‌شود (شکل ۱۱)، لایه‌های ژیپس و انیدریت موجود در محدوده مورد مطالعه کاملاً به صورت قلوه‌ای گسترش یافته‌اند و بافت قلوه‌ای را به خوبی نشان می‌دهند. این ویژگی در سطح لایه بوضوح دیده می‌شود. این قلوه‌ها اندازه‌هایی مختلف از کمتر از یک سانتی‌متر تا بیش از ۱۶ سانتی‌متر دارند. گاهی نیز در برخی رگه‌ها، ژیپس‌های بسیار نازک لایه (laminated gypsum) دیده می‌شود. این رخساره سنگی نیز در یک محیط دریاچه‌ایی کم‌عمق به صورت اولیه در زیر سطح آب بسیار کم‌عمق به صورت لامینه‌های نازک تشکیل شده است

## ۵- بحث

رسوبات رودخانه‌ای است اما با توجه به مشاهدات و داده‌های بررسی شده و با مراجعته به تعاریف و ویژگی‌های محیط‌های خلیج دهانه‌ای و مقایسه و همخوانی با داده‌های به دست آمده، شاید بتوان محیطی حدوات متشابه محیط‌های رسوبی خلیج دهانه‌ای را در محدوده مورد مطالعه برای سازند آغازاری در نظر گرفت. در ابتدا بر اساس مطالعات انجام شده در مورد محیط‌های خلیج دهانه‌ای به توصیف و تشریح مختصر این محیط‌ها می‌پردازیم. محیط‌های خلیج دهانه‌ای عموماً محیط‌های بسته‌ای از آب هستند که در معرض هر دو جریان دریایی (جزر و مد، امواج، جریانات آب شور و رسوبات) و هم جریانات رودخانه‌ای قرار دارند، بدین معنی که آبهای شیرین رودخانه‌ای و روان‌آبهای سطحی جاری از سمت خشکی با آبهای شور دریاها و اقیانوس‌ها به هم می‌رسند و در هم می‌آمیزند. محیط‌های خلیج دهانه‌ای ویژگی‌های زمین‌شناسی، بوم‌شناسی و زیست‌شناسی مختص به خود را دارا هستند (Fairbridge, 1980; Day et al., 2012). محیط خلیج دهانه‌ای به سه بخش یا زون تقسیم می‌شود: زون جزر و مدي (tidal zone)، زون اختلاط (mixing zone) و زون متاطلم یا گل آلود (turbid zone). این زون‌ها بر حسب اندازه، شکل، عمق، ویژگی‌های فیزیکی و شیمیایی و برخی دیگر از خصوصیات محیطی به انواع مختلفی تقسیم‌بندی می‌شوند (Perillo, 1995). خلیج‌های دهانه‌ای از لحاظ زمین‌ریخت‌شناسی (geomorphology) به انواع گوناگونی دسته‌بندی می‌شوند که شامل خلیج دهانه‌ای پهنه ساحلی، خلیج‌های دهانه‌ای Fjord و Rias که در محیط‌های یخچالی تشکیل می‌شوند، خلیج دهانه‌ای لاغونی یا سدی، خلیج دهانه‌ای تکتونیکی و خلیج دهانه‌ای دلتای رودخانه‌ای هستند (Perillo, 1995; Day et al., 2012). خلیج دهانه‌ای پهنه ساحلی روی پهنه‌های رودخانه‌ای که از قبل وجود داشته‌اند تشکیل می‌شود و عمدها در امتداد کرانه‌ها و پهنه‌های ساحلی توسعه می‌یابد. این دسته از خلیج‌های دهانه‌ای، متحمل‌ترین نوع از محیط‌های خلیج دهانه‌ای گسترش یافته در محدوده مورد مطالعه است.

در محیط‌های خلیج دهانه‌ای سکونت‌گاه‌ها و یا زیستگاه‌های متفاوتی وجود دارند که بر حسب خصوصیت‌های فیزیکی،

برای سازند آغازاری مدل‌های رسوبی متعددی ارائه شده که غالباً بر مبنای تشکیل رسوبات قاره‌ای می‌باشند. محیط‌های معرفی شده مشتمل بر مخروط افکنه‌های عظیم، رودخانه‌های بریده بریده (braided rivers)، رودخانه‌های مثاندری و دشت‌های سیلانی هستند. ریزی و درشتی دانه‌ها و قطعات رسوبات بر جای مانده نیز به قدرت و توان هیدرولیکی رودخانه‌ها نسبت داده شده است. به طور کلی برای سازند آغازاری، اصلی‌ترین و محتمل‌ترین محیط رسوبی در نظر گرفته شده، محیط رودخانه‌ای است (Motiei, 1993). در این نوشتار سعی شده است که با توجه به حضور مستمر در میدان نفتی بی‌حکیمه و بررسی سازند آغازاری در بخش‌های مختلف این میدان و همچنین با توجه به نزدیکی این میدان به سواحل خلیج فارس، وجود محیط‌های رسوبی غیر رودخانه‌ای به ویژه محیط رسوبی دریایی در این میدان مورد بررسی قرار گیرد. با توجه به مطالبی که در این پژوهش ارائه گردید، در محدوده مورد مطالعه تنوعی از محیط‌های رسوبی مشاهده می‌گردد. بر اساس نوع رسوبات و بایوتای شناسایی شده در این محیط‌ها، افزون بر محیط رسوبی رودخانه‌ای، محیط‌های رسوبی دیگری نیز در زمان تشکیل سازند آغازاری در محدوده مورد مطالعه وجود داشته‌اند که شامل محیط دریایی کم‌عمق، محیط‌های حدوات و محیط‌های دریاچه‌ای بوده‌اند.

نهشته‌های محیط دریاچه‌ای در محدوده مورد مطالعه به صورت رسوبات تبخیری با بافت قلوه‌ای و به صورت رگه‌ها و لایه‌های نسبتاً نازک اnidrit و ژپس در میان لایه‌های نازک رسوبات ریزدانه آواری قرار گرفته‌اند. این پدیده نشان از فصلی بودن دریاچه و پر شدن و خشک شدن آن در زمان‌ها و فصول مختلف دارد. محیط دریایی کم‌عمق نیز بواسطه حضور روزنبران کفرزی و همچنین استراکودهای دریایی و برخی از جلبک‌های آب شور در زمان رسوبنگذاری سازند آغازاری در محدوده مورد مطالعه، متحمل است. اما با توجه به مشاهدات و داده‌های یافت شده از بایوتای جانوری و گیاهی و همچنین نوع رسوبات موجود، یکی از محیط‌های رسوبی متحمل در زمان نهشته شدن سازند آغازاری در محدوده مورد مطالعه، می‌توانسته محیط‌های رسوبی حدوات و یا محیط‌های خلیج دهانه‌ای (Estuary) باشد. هر چند که تایید محیط رسوبی خلیج دهانه‌ای در منطقه نیازمند مطالعات جامع رسوب‌شناسی، ایکنولوژی و مطالعات

رسوبگذاری در این محیط‌ها شامل نهشته شدن رسوبات نرم و ریزدانه است. پهنه‌های جزر و مدي در محیط‌های خلیج دهانه‌ای عموماً توسط موجودات اتوژنیک (autogenic) روی سطح‌زی یا epifaunal نظیر اویسترها، دوکفه‌ها و کرم‌های حفار تونل ساز (tube-building, serpulids) اشغال می‌شود (Allee et al., 2000).

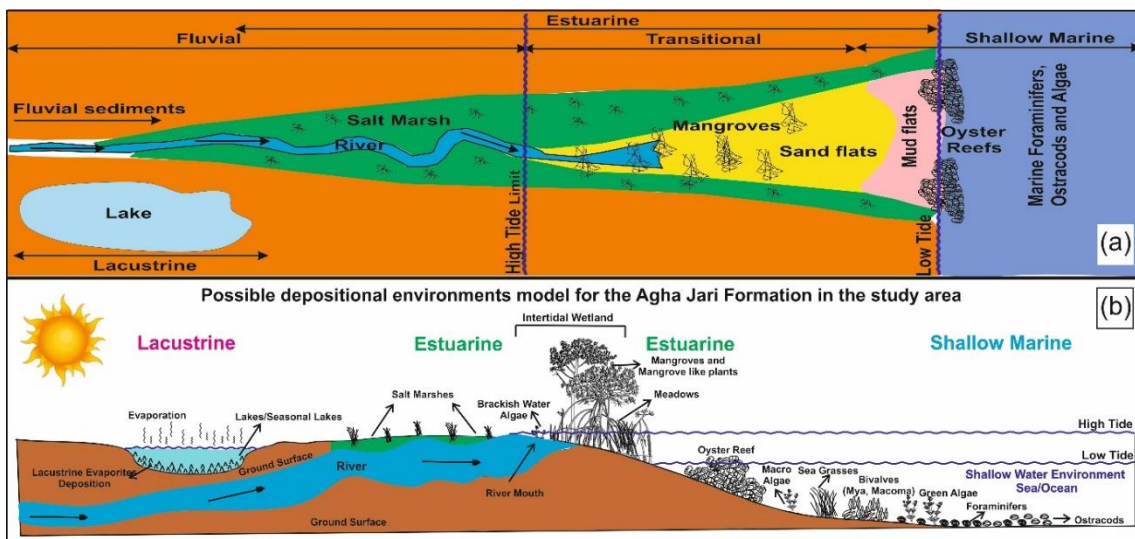
از دیدگاهی دیگر و بر اساس مطالعات Day و همکاران (۲۰۱۲) زیستگاه‌های محیط‌های خلیج دهانه‌ای را می‌توان در دو دسته تقسیم‌بندی کرد:

(الف) از لحاظ غیر زیستی (abiotic) شامل: سواحل، گذرگاه‌های آبی، پهنه‌های زیر جزر و مدي و میان جزر و مدي، نواحی عمیق و دلتا.

(ب) از لحاظ زیستی (biotic) یا موجودات ساکن شامل: در محدوده اختلاط، وجود مانگروها و گیاهان نمک دوست. در محدوده میان جزر و مدي شامل باتلاق‌های نمکی، حوضچه‌های جزر و مدي، پهنه‌های جلکی، پهنه‌های گلی، ریف‌های اویستری و لایه‌های صدف‌دار (mussel beds)، و در محدوده meadow زیر جزر و مدي شامل پهنه‌های علف‌های دریایی (sand shoals)، پشت‌های ماسه‌ای (flats)، بسترها گلی نرم (soft muddy bottoms) و لایه‌های حاوی نرم تنان، می‌باشند. با توجه به توصیفات فوق از محیط‌های خلیج دهانه‌ای و بر اساس مشاهدات موجود و شناسایی زیستگاه‌های مختلف در منطقه از قبیل وجود مقاطع عرضی رودخانه و ریپل مارک‌های آن، وجود لایه ذغالی غنی یا پیت مملو از آثار و بقایای گیاهی و رسوبات ریزدانه دربرگیرنده آنها، وجود لایه‌های غنی اویستردار و همچنین وجود جلکب‌های فراوان آبهای لب‌شور، می‌توان داده‌های فوق را نشانه‌هایی از وجود احتمالی محیط رسوبی خلیج دهانه‌ای برای رسوبگذاری بخشی از سازند آغازاری، علاوه بر محیط‌های دریایی کم عمق، رودخانه‌ای و دریاچه‌ای، در محدوده مورد مطالعه در نظر گرفت. شکل ۱۲ نمایی پیشنهادی از محیط‌های رسوبی سازند آغازاری در بخش مورد مطالعه میدان نفتی بی‌بی حکیمه را ارائه می‌دهد. تصویر a نمای از بالا و تصویر b نمای نیمرخ از محیط‌های رسوبی احتمالی و پیشنهادی برای سازند آغازاری در محدوده مورد مطالعه را نشان می‌دهند.

شیمیایی و زیستی تعیین می‌گردد (Perillo, 1995). به طور کلی و عمومی این زیستگاه‌ها شامل موارد ذیل می‌باشند:

Salt marshes, Tidal marshes or Mangroves, Sea grass meadows, Mud and sand flats, Tidal flats, Channels and Tidal pools. شایان ذکر است که زیستگاه‌های فوق در خلیج‌های دهانه‌ای مختلف متغیر بوده و نسبت به هم تفاوت‌هایی دارند. باتلاق‌های نمکی یا salt marsh ها، در پهنه‌های بالایی زون میان جزر و مدي و در آخرین بخش از محیط‌های جزر و مدي به طرف ساحل تشکیل می‌گردد (Moussavi-Harami, 2013) و همچنین شامل تالاب‌هایی هستند که در اطراف و مجاورت محیط‌های خلیج دهانه‌ای یافت می‌شوند و از زیستگاه‌های متداول این محیط‌های رسوبگذاری هستند که معمولاً باتلاق‌های نمکی خلیج دهانه‌ای (estuary salt marsh) نامیده می‌شوند. کیفیت آب این باتلاق‌ها از کاملاً اشباع از نمک تا شیرین متغیر است، به عبارت دیگر این باتلاق‌ها نواحی آبدار ساحلی (coastal wetlands) هستند که توسط جریان‌های جزر و مدي پر و خالی می‌شوند. باتلاق‌های نمکی محیط‌هایی با توپوگرافی پست و کم انرژی بوده و در محدوده‌های وسیعی گسترش می‌یابند که در بلافصل خشکی و آب‌های آزاد دریا قرار دارند و توسط رسوبات آواری دانه‌ریز (سیلت و رس) پر شده‌اند (Lenz et al., 2022). در باتلاق‌های نمکی نیز پوشش گیاهی متنوعی با منشا گیاهان نمک دوست خشکی یافت می‌شود که عمدتاً از نوع علفی و بوته‌ای و گاه برخی مانگروها هستند. به دلیل اینکه این گیاهان دائماً در معرض جزر و مدي قرار دارند و در اثر بالا و پایین شدن مداوم سطح آب، مدهای شدید و همچنین توفان‌های قوی در زیر آب غرق می‌شوند و به سرعت از بین می‌رونند، لذا کیفیت پیت یا ذغال به دست آمده از آنها به شدت پایین است (French, 2019). غالباً باتلاق‌های نمکی در عرض‌های جغرافیایی میانه و بالا، از جمله ایران، متداول هستند و یکی از زیستگاه‌های معمول در محیط‌های خلیج دهانه‌ای محسوب می‌گردد (Day et al. 2012). باتلاق‌های جزر و مدي می‌باشند که معادل زیستگاه Mangrove ها می‌باشند در کرانه‌های ساحلی دریاهای کم عمق و در محیط‌های کم انرژی ایجاد می‌گردد و اجازه ازدیاد، رشد و تجمع گیاهانی که قادرند محیط‌های آبی با شوری زیاد را تحمل کنند را می‌دهند.



شکل ۱۲- مدل مفهومی و محیط‌های رسوبی پیشنهادی برای سازند آغاجاری در محدوده مورد مطالعه (a) مدل دید از بالا، و (b) مدل دید نیم‌رخی، بر گرفته از Day و همکاران (2012).

Fig.12. Proposed conceptual model and depositional environments for the Aghajari Formation in the study area, (a) Top view model, and (b) Cross-section view model, modified from Day et al. (2012).

نشان‌دهنده وجود محیط‌های حدوداستی نظیر باتلاق‌های نمکی و یا محیط خلیج دهانه‌ای و احتمالاً نوعی محیط خلیج دهانه‌ای پهنه ساحلی باشند. کانال‌های رودخانه‌ای، ریپل مارک‌ها و لایه‌بندهای ضعیف متقاطع نیز بیانگر وجود محیط رودخانه‌ای هستند. وجود لایه‌های ژیپس و انیدریت با بافت قلوه‌ای و لامینه‌ای نیز می‌توانند نشانگر محیط دریاچه‌ای باشند. به طور کلی در محدوده مورد مطالعه از سمت یال شمالی به طرف یال جنوبی تاقدیس بی‌بی حکیمه، ابتدا رخساره‌های زیستی کربناته شامل رخساره‌های زیستی کربناته استراکودها، روزنبران کفسی و جلبک‌های کاروفیت دیده می‌شوند و پس از آنها به ترتیب رخساره لایه‌های اویستردار، اثرات محیط رودخانه‌ای شامل کانال‌های رودخانه‌ای، لایه‌بندی‌های متقاطع ضعیف و ریپل مارک‌ها ظاهر می‌شوند. سپس رگه پیت و بقایای کربونیزه شده گیاهی و در نهایت رخساره سنگی تبخیری‌ها قابل مشاهده هستند. به طور کلی رخساره‌های زیستی و سنگی شناسایی شده نشانگر وجود محیط دریایی کم عمق در بخش‌های شمالی و محیط‌های حدوداستی، رودخانه‌ای و دریاچه‌ای در بخش‌های جنوبی محدوده مورد مطالعه می‌باشند. همچنین با توجه به داده‌های به دست آمده، محیط دریایی کم عمق در بخش‌های جنوب شرق میدان نفتی بی‌بی حکیمه همچون نواحی ساحلی خلیج فارس و جزیره قشم تایید می‌گردد.

## ۶- نتیجه‌گیری

سازند آواری آغاجاری در محدوده مورد مطالعه شامل توالی سنگ‌شناسی ضخیمی از مارن‌های قرمز و خاکستری، ماسه‌سنگ، سیلیتسنون‌های قرمز و لایه‌های نازک آهک و انیدریت می‌باشد. در برش مطالعه شده از قاعده به سمت راس، سازند آواری آغاجاری در برگیرنده رخساره‌های زیستی و سنگی متعدد و متنوع است. مهم‌ترین رخساره‌های زیستی این سازند عبارتند از رخساره زیستی کربناته استراکودها، رخساره زیستی کربناته روزنبران کفسی، رخساره زیستی کربناته جلبک‌های کاروفیت، رخساره زیستی لایه‌های اویستردار و رخساره زیستی گیاهی. مهم‌ترین رخساره سنگی این سازند نیز رخساره تبخیری شامل انیدریت‌های نازک تا متوسط لایه با بافت قلوه‌ای و لامینه‌ای است. با توجه به وجود رخساره‌های زیستی و سنگی فوق و همچنین وجود ممقاطع کانال‌های رودخانه، ریپل مارک‌های مجاور کانال رودخانه و لایه‌بندی‌های متقاطع ضعیف، می‌توان محیط‌های رسوبی دریایی کم عمق، حدوداست، رودخانه‌ای و دریاچه‌ای را برای رسوب‌گذاری سازند آغاجاری در محدوده مورد مطالعه متصور بود. وجود استراکودهایی با کاراپاس ضخیم و روزنبران کفسی فراوان به همراه جلبک، بریوزوآ و سرپیولید موبد محیط رسوبی دریایی کم عمق هستند. حضور لایه‌های اویستردار، بقایای فراوان گیاهی، رگه پیت، رسوبات ریزدانه و جلبک‌های کاروفیت آب‌های لب‌شور می‌توانند

عکسبرداری‌های میکروسکوپی و از آقای مهندس محمد مهدی  
محمدی در همراهی عملیات صحرایی کمال تشکر و قدردانی را  
دارم.

از راهنمایی‌ها و مساعدت‌های ارزشمند آقای دکتر عبدالارضا  
باوی عویدی، از همکاری آقای دکتر محمدرضا طاهری در

### تشکر و قدردانی

### مراجع

- Alivernini, M., Wang, J., Frenzel, P., Mischke, S., 2020. Mio-Pleistocene Ostracoda from the Zhada Basin (western Tibetan Plateau). *PalZ* 95, 37-54. <https://doi.org/10.1007/s12542-020-00523-w>
- Allee, RJ., Dethier, M., Brown, D., Deegan, L., Ford, RG., Hourigan, TF., Maragos, J., Schoch, C., Sealey, K., Twilley, R., Weinstein, MP., Yoklavich, M., 2000. Marine and Estuarine Ecosystem and Habitat Classification. USA, National Oceanic and Atmospheric Administration, Report No.1, p. 43
- Amiri Bakhtiar, H., Nouraei Nezhad, MR., 2021. Stratigraphy of Zagros, volume 3 Cenozoic, 1st edition, Tarava publication, Ahwaz, Iran, p. 147.
- Arche, A., 2008. Some precisions on the use of the term playa in the geologic literature. *Journal of Iberian Geology* 34, 5-9.
- Bardshaw, CD., 2021. Encyclopedia of Geology, volume 5, 2nd edition. In: D., and Elias, S.A. (Eds.) Miocene. Science Direct, Alderton, Elsevier, Amsterdam, Netherland. pp. 263-371
- Boomer, I., DJ. Horne, IJ. Slipper. 2003. The use of ostracods in palaeoenvironmental studies, or what can you do with an ostracod shell?. *The Paleontological Society Papers* 9, 153–180. <https://doi.org/10.1017/s1089332600002199>
- BouDagher-Fadel, MK., 2018. Evolution and geological significance of larger benthic foraminifera. *Developments in Palaeontology and Stratigraphy*, 1st edition. Elsevier, Amsterdam, p. 544, <https://doi.org/10.2307/j.ctvqhsq3>
- Branoff, B., 2018. Mangrove leaf and root traits and their relation to urbanization. *bioRxiv*, The preprint server for biology 37, 21-65. <https://doi.org/10.1101/506196>
- Chomicki, G., Bidel, L., Baker, J., Jay-Allemand, C., 2020. Palm snorkelling: leaf bases as aeration structures in the mangrove palm (*Nypa fruticans*). *Botanical Journal of the Linnean Society* 174, 257–270. <https://doi.org/10.1080/10637153.2020.1718700>
- Cuitino, JI., Santos, RV., Scasso, RA., 2013. Insights into the Distribution of Shallow-Marine to Estuarine Early Miocene Oysters from Southwestern Patagonia: Sedimentologic and Stable Isotope Constraints. *PALAIOS* 28, 583-598. <https://doi.org/10.2110/palo.2012.p12-105r>
- Danielopol, DL., Gross, M., Piller, W.E., 2007. Taxonomic diversity of middle Miocene ostracoda assemblages- A useful tool for palaeoenvironmental characterization of the Hainburg Area (Vienna Basin). *Joannea Geologie und Paläontologie*, Austria, 9, 25-30.
- Day, JW., Crump, BC., Kemp, WM., Yanez-Arancibia, A., 2012. *ESTUARINE ECOLOGY*, 2nd edition, John Wiley and Sons Publication, Singapore, p. 257
- Evans, J., 2016. Encyclopedia of Engineering Geology. In: Bobrowsky, P.T., Marker, B. (Eds.) Fluvial Environments. Springer International. Netherlands, 747-795 PP. [https://doi.org/10.1007/978-3-319-12127-7\\_129-1](https://doi.org/10.1007/978-3-319-12127-7_129-1)
- Fairbridge, RW., 1980. The estuary: its definition and geodynamic cycle. In: Olausson, E., Cato, I. (Eds.) Chemistry and Biochemistry of Estuaries. USA, New York, John Wiley and Sons publication pp. 301-351
- Forkner, R., 2010. An integrated system for macro-scale anhydrite classification. *Geological Quarterly* 54, 423-430. <https://www.researchgate.net/publication/288428975>
- French, J., 2019. Tidal Salt Marshes: Sedimentology and Geomorphology of Coastal Wetlands, 2nd edition, Elsevier, p. 517. <https://doi.org/10.1016/B978-0-444-63893-5.00014-9>
- Gouramanis, C., 2020. Ostracoda in extreme-wave deposits. *Geological Records of Tsunamis and Other Extreme Waves* 13, 261-290. <https://doi.org/10.1016/B978-0-12-815686-5.00013-4>
- Harzhauser, M., Djuricic, A., Mandic, O., Neubauer TA., Zuschin, M., Pfeifer, N., 2015. Age structure, carbonate production and shell loss rate in an Early Miocene reef of giant oyster *Crassostrea gryphoides*. *Biogeosciences Discuss* 12, 15867–15900. <https://doi.org/10.5194/bgd-12-15867-2015>

- Hassani, MJ., Hosseinipour, F., 2018. Quantitative analysis, basin evolution and paleoecology of Early Miocene ostracods in the southwest of Kerman, Iran. *Geopersia* 8, 213-232. <https://doi.org/10.22059/GEOPE.2018.224602.648295>
- Hosseinipour, F., Dastanpour, M., 2011. Lower Miocene oyster shells from the Southwest Zagros Basin (Zade Mahmud area, Iran) and their paleoecology. *Scientific Quarterly Journal, Geosciences* 91, 101-110. <https://doi.org/10.1007/s12517-011-0493-2>
- Hughes, GW., 2014. Micropalaeontology and palaeoenvironments of the Miocene Wadi Waqb carbonate of the northern Saudi Arabian Red Sea. *GeoArabia* 19, 59-108. <https://doi.org/10.2113/geoarabia190459>
- James, GA., Wynd, JG., 1965. Stratigraphic nomenclature of Iranian oil consortium agreement area. *American Association Petroleum Geological Bulletin* 49, 2182-2245.
- Kathiresan, K., Bingham, BL, 2001. Biology of Mangroves and Mangrove Ecosystems. *Advances in Marine Biology* 40, 181-251. [https://doi.org/10.1016/s0065-2881\(01\)40003-4](https://doi.org/10.1016/s0065-2881(01)40003-4)
- Lenz, N., Lindhorst, S., Arz, HW., 2022. Determination and quantification of sedimentary processes in salt marshes using end-member modeling of grain-size data. *The Depositional Record* 9, 4-29. <https://doi.org/10.1002/dep2.213>
- Lucena, I., Maciel, VEO., da Silva, JB., Galvincio JD., Pimentel, RMM., 2011. Leaf Structure of Mangrove Species to Understand the Spectral Responses. *Journal of Hyperspectral Remote Sensing* 2, 19-31. <https://doi.org/10.5935/2237-2202.20110002>
- Mandic, O., Harzhauser, M., Schlaf, J., Piller, WE., Schuster, F., Wielandt-Schuster, U., Nebelsick, Bassant, P., J. H., Kroh, A., Rögl, F., 2004. Palaeoenvironmental Reconstruction of an epicontinental Flooding – Burdigalian (Early Miocene) of the Mut Basin (Southern Turkey). *Courtesy of Forsch Institute Bulletin* 248, 57-92.
- Motiei, H., 1993. Geology of Iran, Stratigraphy of Zagros, 1st edition, Iranian Geological Survey Publications Tehran, p. 536
- Moussavi-Harami, R., 2013. Sedimentology, 5th edition, Astan Quds publication, Tehran, Iran, p. 474
- Nieves-Rivera, AM., 2007. Paleobotanical Notes on Mangrove-Like Plants of Puerto Rico. *Interciencia* 32, 175-179.
- Perez-Cano, J., Bover-Arnal, T., Martin-Closas, C., 2022. Charophyte communities in Barremian Iberian wetlands. *Facies* 68, 13-51. <https://doi.org/10.1007/s10347-022-00651-6>
- Perillo, GME., 1995. Definitions and Geomorphologic Classifications of Estuaries. *Developments in Sedimentology* 53, 17-47. [https://doi.org/10.1016/S0070-4571\(05\)80022-6](https://doi.org/10.1016/S0070-4571(05)80022-6)
- Philipp, SL., 2008. Geometry and formation of veins in mudstones at Watchet, Somerset, SW England. *Geological Magazine* 48, 1103-1119. <https://doi.org/10.1017/s0016756808005451>
- Rahimpour Bonab, H., 2020. Carbonate Petrology, Diagenesis and Porosity Evolution, 1st edition, University of Tehran publications, Iran, Tehran, p. 250
- Rosell, L., 2007. Depositional models of lacustrine evaporites in the SE margin of the Ebro Basin (Paleogene, NE Spain). *Geologica Acta* 5, 19-34. <https://www.reseachgate.net/publication/28156654>
- Ruiz, F., Abad, M., Bodergat, AM., Carbonel, P., Rodriguez-Lazaro, J., Gonzalez-Regalado, ML., Toscano, A., Garcia, E.X., Prenda, J., 2013. Freshwater ostracods as environmental tracers. *International Journal of Environmental Sciences and Technology* 10, 1115–1128. <https://doi.org/10.1007/s13762-013-0249-5>
- Santhi, VV., Sreekanth, S., Sukumaran, M., Antony, MM., 2022. New distribution record of Crassostreine oyster *Magallana gryphoides* (Schlotheim, 1820) in Kerala, India. *Iranian Society of Ichthyology* 10, 364-369. <https://doi.org/10.22034/ijab.v10i5.1672>
- Schnurrenberger, D., James Russell, J., Kelts, K., 2003. Classification of lacustrine sediments based on sedimentary components. *Journal of Paleolimnology* 29, 141–154.
- Sherkati, S., Letouzey, J., de Lamotte. FD., 2006. Central Zagros fold-thrust belt (Iran): new insights from seismic data, field observation, and sandbox modeling. *Tectonics* 25, 1-27. <https://doi.org/10.1029/2004TC001766>
- Siddique, MRH., Zuidema, PA., Sass-Klaassen, U., Chowdhury, MQ., 2021. Ring width and vessel features of the mangrove *Excoecaria agallocha* L. depend on salinity in the Sundarbans, Bangladesh. *Dendrochronologia* 68, 47-56. <https://doi.org/10.1016/j.dendro.2021.125857>

- Srivastava, J., Prasad, V., 2019. Evolution and Paleobiogeography of Mangroves. *Marine Ecology* 14, 1-19. <https://doi.org/10.1111/maec.12571>
- Steinthorsdottir, M., Coxall, HK., de Boer, AM., Huber, H., Barbolini, N., Bardshaw, CD., Burls, NJ., Feakins, SJ., Gasson, E., Henderiks, J., Holbourn, AE., Kiel, S., Kohn, MJ., Knorr, G., Kurschner, WM., Lear, CH., Liebrand, D., Lunt, DJ., Mors, T., Pearson PN., Pound, MJ., Stoll, H., Stromberg, CAE., 2020. The Miocene: The Future of the Past. *Paleoceanography and Paleoceanography* 36, 41-83. <https://doi.org/10.1029/2020PA004037>
- Trabelsi, K., Soussi, M., Touir, J., Houla, Y., Abbes, C., Martin-Closas, C., 2016. Charophyte biostratigraphy of the non-marine Lower Cretaceous in the Central Tunisian Atlas (North Africa): Paleobiogeographic implications. *Cretaceous Research* 67, 66-83. <https://doi.org/10.1016/j.cretres.2016.07.004>
- Warren, JK., 2010. Evaporites through time: tectonic, climatic and eustatic controls in marine and nonmarine deposits. *Earth-Science Reviews* 98, 217–268. <https://www.researchgate.net/publication/312488903>
- Warren, J. K., 2016. Evaporites, 2nd edition, Springer Cham, Switzerland, p. 1813. [https://doi.org/10.1007/978-3-319-39193-9\\_100-1](https://doi.org/10.1007/978-3-319-39193-9_100-1)
- Wynd, JG., 1965. Biofacies of the Iranian Oil Consortium Agreement Area. Iranian Oil Operation Companies. Geological and Exploration Division, Tehran, Report No. 1082.